

# LAPORAN TUGAS AKHIR

## PERENCANAAN DAPUR CRUSIBLE LOGAM NON FERROS UNTUK LABORATORIUM



Disusun oleh  
**HENDRA WIDASMARA**  
**00.51.150**

JURUSAN TEKNIK MESIN D III  
FAKULTAS TEKNOLOGI INDUSTRI  
INSTITUT TEKNOLOGI NASIONAL MALANG  
**2006**

**LEMBAR PENGESAHAN**  
**LAPORAN TUGAS AKHIR**  
**PERENCANAAN DAPUR CRUSIBLE LOGAM NON FERROUS UNTUK**  
**LABORATORIUM**



*Disusun Oleh :*

Nama : Hendra Widasmara  
Nim : 00.51.150  
Jurusan : Teknik Mesin D-III  
Fakultas : Teknologi Industri  
Nilai : .....( )

*Diperiksa dan Disetujui Oleh :*



**Ketua Jurusan  
Teknik Mesin D-III**

**Ir.Drs. Moch. Trisno, MT**

**NIP. 130. 936. 652**

**Dosen Pembimbing**

A handwritten signature of "Suryanto" in black ink.

**Ir. Suryanto, MT**

**NIP. 102. 8500. 104**

СЕМЯНА  
ЯИЧНАЯ РАДИКАЛОЛА  
ПРЕБИОТИКИ И МИКРОБЫ ДЛЯ СВИДЕЛЕЙ  
БИОФАРМ



1000 штук

стартовый набор : 500г  
05.12.00 : 012.  
Н-О пакеты : 10штук  
Индивидуальные : 5штук  
( )... : 10шт

1000 штук

пакеты

пакеты  
Н-О пакеты

TM логотип

TM логотип

1401.00руб. за 1 кг

1390.00руб. за 1 кг



**INSTITUT TEKNOLOGI NASIONAL MALANG**  
**FAKULTAS TEKNOLOGI INDUSTRI**  
**JURUSAN TEKNIK MESIN D-III**

Kampus : Jl.Bendungan Sigura-gura No.2 Malang

---

NAMA	:	HENDRA WIDASMARA
NIM	:	00. 51. 150
TANGGAL BIMBINGAN	:	10 DESEMBER - 10 MARET
JUDUL TUGAS AKHIR	:	PERENCANAAN DAPUR CRUSIBLE LOGAM NON FERROUS UNTUK LABORATORIUM
DOSEN PEMBIMBING	:	Ir. SURYANTO, MT

---

NO	TANGGAL	KETERANGAN	PARAF
1	20 s/d 30 Desember 2005	Pembetulan Judul / Acc Judul	
2	10 Januari 2006	BAB I, Bisa Dilanjutkan.	
3	25 Januari 2006	BAB II, Teori Perpindahan Panas dan Konstruksi Las.	
4	31 Januari 2006	BAB III, Bahan Konstruksi.	
5	10 Februari 2006	Perhitungan Heat Treatment Dicek Lagi.	
6	20 Februari 2006	BAB IV, Kesimpulan Data di Analisa Kembali.	
7	05 Maret 2006	Dicek Ulang, Bisa Digandakan.	

Mengetahui,  
Dosen Pembimbing

( Ir. Suryanto, MT )

INSTITUT TEKNOLOGI NARODA MALANG  
TAKSIAS TEKNOLOGI INDUSTRI  
JURUSAN TEKNIK MESIN-DIII



Kampus : ITB Bandung Sigitas-Puncu No.5 Malang

: HINDIA HOLANDA

INDIA

: 00.31.120

INDIA

TAMPAK BIRMINGHAM : DESENTRALISASI DILAKUKAN

JUMLAH TUGAS AKHIR : TURNAKAN DAN CRISTOBAL LOMBARDO

MONTEVIDEO : TURNAKAN DAN CRISTOBAL LOMBARDO

DOSSEN LIMBIRIBING : LA SUBAYANG MEL

NO	TAHUN	BERJAMAN	TAHUN	TAHUN
1	2005	2004/2005	BRITISH DEVELOPER	BRITISH DEVELOPER
2	2006	2005/2006	BRITISH DEVELOPER	BRITISH DEVELOPER
3	2007	2006/2007	BRITISH DEVELOPER	BRITISH DEVELOPER
4	2008	2007/2008	BRITISH DEVELOPER	BRITISH DEVELOPER
5	2009	2008/2009	BRITISH DEVELOPER	BRITISH DEVELOPER
6	2010	2009/2010	BRITISH DEVELOPER	BRITISH DEVELOPER
7	2011	2010/2011	BRITISH DEVELOPER	BRITISH DEVELOPER

Mengenai

Dosen Pembimbing

( la Subayang MEL )



PERKUMPULAN PENGELOLA PENDIDIKAN UMUM DAN TEKNOLOGI NASIONAL MÁLANG  
**INSTITUT TEKNOLOGI NASIONAL MALANG**

FAKULTAS TEKNOLOGI INDUSTRI  
FAKULTAS TEKNIK SIPIL DAN PERENCANAAN  
PROGRAM PASCASARJANA MAGISTER TEKNIK

Kampus I : Jl. Bendungan Sigura-gura No. 2 Telp. (0341) 551431 (Hunting) Fax. (0341) 553015 Malang 65145  
Kampus II : Jl. Raya Karanglo, Km 2 Telp. (0341) 417636 Fax. (0341) 417634 Malang

**KARTU BIMBINGAN TUGAS AKHIR  
FAKULTAS TEKNOLOGI INDUSTRI**

**Nama Mahasiswa** : Hendra Widasmara  
**NIM** : 00.51.150  
**Jurusan** : Teknik Mesin D-III  
**Program Studi** : Teknik Mesin Diploma Tiga ( D III )  
**Judul Tugas Akhir** : Perencanaan Dapur Crusible Logam Non Ferrous untuk Laboratorium  
**Pengajuan Tugas Akhir** : 10 Desember 2005  
**Selesai Menulis Tugas Akhir** : 15 Februari 2006  
**Dengan Nilai Bimbingan** : 89 ( A )

Mengetahui,  
Dekan Fakultas Teknologi Industri

Ir. Mochtar Asroni, MSME  
NIP : 101 8100 036

Dosen Pembimbing

Ir. Suryanto, MT  
NIP : 102 8500 104



PT. BNI (PERSERO) MALANG  
BANK NIAGA MALANG

PERKUMPULAN PENGELOLA PENDIDIKAN UMUM DAN TEKNOLOGI NASIONAL MALANG  
**INSTITUT TEKNOLOGI NASIONAL MALANG**  
FAKULTAS TEKNOLOGI INDUSTRI  
FAKULTAS TEKNIK SIPIL DAN PERENCANAAN  
PROGRAM PASCASARJANA MAGISTER TEKNIK

Kampus I : Jl. Bendungan Sigura-gura No. 2 Telp. (0341) 551431 (Hunting), Fax. (0341) 553015 Malang 65145  
Kampus II : Jl. Raya Karanglo, Km 2 Telp. (0341) 417636 Fax. (0341) 417634 Malang

**BERITA ACARA UJIAN TUGAS AKHIR**  
**FAKULTAS TEKNOLOGI INDUSTRI**

Nama : Hendra Widasmara  
NIM : 00.51.150  
Jurusan : Teknik Mesin Diploma Tiga ( D III )  
Judul Tugas Akhir : Perencanaan Dapur Crusible Logam Non Ferrous  
Untuk Laboratorium

Dipertahankan didepan Team Penguji Ujian Tugas Kahir jenjang Program

Diploma Tiga ( D III ) Pada :

Hari / Tanggal : Sabtu, 25 Februari 2006

Dengan Nilai Hasil Ujian : 80,15 ( delapan puluh koma lima belas )

**PANITIA UJIAN TUGAS AKHIR**



Ketua

Ir. Mochtar Asroni, MSME  
Nip : 101 8100 036

Sekretaris

Ir.Drs. Moch Trisno, MT  
Nip : 130 936 652

**ANGGOTA**

Ir.Drs. Moch Trisno,MT

Ir.Drs.Soetriyono, Mpd

## **KATA PENGANTAR**

Dengan memanjatkan rasa syukur kepada Allah SWT, yang telah melimpahkan rahmat dan hidayahnya, sehingga penulis bisa menyelesaikan Laporan Tugas Akhir ini.

Laporan Tugas Akhir ini merupakan salah satu syarat bagi Mahasiswa Teknik mesin D-III.

Bersama dengan selesaiannya penyusunan laporan ini, penulis menyampaikan terima kasih kepada :

1. Bapak Dr. Ir. Abraham Laomi, MT selaku Rektor ITN Malang.
2. Bapak Ir. Mochtar Asroni, MS, ME selaku Dekan fakultas teknologi Industri ITN Malang.
3. Bapak Ir. Drs. Moch.Trisno, MT selaku Ketua Jurusan Teknik Mesin D-III, ITN Malang.
4. Bapak Ir. Suryanto, MT selaku Dosen Pembimbing.
5. Para Asisten dan Mahasiswa yang telah membantu penyelesaian Laporan Tugas Akhir ini.

Penyusun menyadari bahwa laporan ini masih banyak kekurangan. Oleh karena itu penyusun mengharapkan sekali kritik dan saran untuk kesempurnaan laporan ini. Semoga laporan ini berguna dan bermanfaat bagi para pembaca.

Malang, Maret 2006

Penyusun

## **DAFTAR ISI**

**LEMBAR JUDUL**

**LEMBAR PENGESAHAN**

**LEMBAR KARTU BIMBINGAN**

**LEMBAR ASISTENSI**

**KATA PENGANTAR.....i**

**DAFTAR ISI.....ii**

**DAFTAR GAMBAR.....iii**

**DAFTAR TABEL.....iv**

**DAFTAR GRAFIK.....v**

**BAB I PENDAHULUAN**

<b>1.1. Latar Belakang Masalah.....</b>	<b>1</b>
<b>1.2. Tujuan Perencanaan.....</b>	<b>2</b>
<b>1.3. Rumusan Masalah.....</b>	<b>2</b>
<b>1.4. Batasan Masalah.....</b>	<b>2</b>
<b>1.5. Metode Penelitian.....</b>	<b>3</b>
<b>1.6. Keuntungan Dan Kerugian Dapur Crucible.....</b>	<b>4</b>
<b>1.7. Sistematika Penulisan Tugas Akhir.....</b>	<b>4</b>

**BAB II LANDASAN TEORI**

<b>2.1. Paduan Tembaga.....</b>	<b>7</b>
<b>2.1.1. Kuningan.....</b>	<b>7</b>
<b>2.1.2. Perunggu.....</b>	<b>8</b>

## DATUM

LEMBAR ISUH

LEMBAR PENGESAHAN

LEMBAR KARTU BIMBINGAN

LEMBAR ASISTENSI

I.....KATA PENGANTAR

II.....DAFTAR ISI

III.....DAFTAR GAMBAR

IV.....DAFTAR TAHUN

V.....DAFTAR ORGANISASI

VI.....DAFTAR PENDAFTARAN

1.....I.I. Peran Bapak dan Ibu sebagai

2.....I.2. Tujuan Pendidikan

3.....I.3. Kriteria Wajahnya

4.....I.4. Banyaknya Masalah

5.....I.5. Metode Pengajaran

6.....I.6. Komunikasi dan Kordinasi Dalam Organisasi

7.....I.7. Sistematiska Penulisan Jurnal Ilmiah

BAB II LAMDAZAN THORI

1.....2.1. Pendekatan Terpadu

2.....2.2. Kriteria

3.....2.3. Permasalahan

2.1.3. Alumunium Bronze.....	8
2.1.4. Silikon Bronze.....	9
2.2. Dapur Crusible.....	9
2.2.1. Keuntungan Dan kerugian Dapur Crusible.....	11
2.2.2. Bagian-Bagian Utama Dari dapur Crusible.....	11
2.2.3. Bahan Refraktori.....	13
2.3. Bahan Bakar.....	15
2.3.1. Macam-macam Bahan Bakar.....	15
2.3.2. Bahan Bakar Minyak Tanah.....	15
2.3.3. Keuntungan bahan Bakar Minyak Tanah.....	16
2.4. Pengaruh Perubahan Temperatur Pada Material / Konstruksi.....	16
2.5. Sambungan Las.....	17
2.6. Faktor Keamanan.....	19
2.7. Batu Tahan Api / Refraktori.....	20
2.8. Burner.....	20
2.9. Perhitungan Perpindahan Panas dalam Dapur Crusible.....	21
2.9.1. Konduksi.....	22
2.9.2. Konveksi.....	25
2.9.3. Radiasi.....	28

## **BAB III PERHITUNGAN PERPINDAHAN PANAS DAN KONSTRUKSI DAPUR CRUSIBLE**

3.1 Umum.....	34
3.2 Konsep Perencanaan.....	35
3.2.1. Konstruksi Dapur Crusible.....	35
3.2.2 Langkah Kerja Perencanaan.....	36
3.3. Perencanaan Perhitungan.....	36
3.3.1. Perencanaan Crusible.....	36
3.3.2. Perencanaan Tabung Bahan Bakar.....	38
3.4. Perhitungan Pengaruh Perubahan Temperatur Pada Konstruksi...	39
3.4.1. Perhitungan Kekuatan Las.....	41
3.5. Perhitungan Perpindahan Panas.....	44
3.5.1. Koefisien Konveksi dan Radiasi Dinding Luar Dapur.....	46
3.5.2. Koefisien Konduksi dari Dinding.....	48
3.5.3. Koefisien Konveksi Paksa dan Gas Asap.....	49
3.5.4. Aliran kalor.....	50

**BAB IV PENUTUP**

4.1. Kesimpulan.....	52
4.2. Saran – Saran.....	53
<b>DAFTAR PUSTAKA.....</b>	<b>54</b>

## **DAFTAR GAMBAR**

Gambar 2.1. Dapur Kowi Untuk Logam Bukan Besi.....	9
Gambar 2.2. Dapur Crusible.....	12
Gambar 2.3. Macam – Macam Type Las.....	17
Gambar 2.4. Perpindahan Kalor Satu Dimensi.....	23
Gambar 2.5. Aliran Kalor Dimensi Melalui Penampang Silinder.....	24
Gambar 3.1. Konstruksi Dapur Crusible.....	35
Gambar 3.2. Crusible / Kowi.....	37
Gambar 3.3. Las Yang Direncanakan.....	41
Gambar 3.4. Daerah Pengelasan.....	43

## **DAFTAR TABEL**

Tabel 2.1. Standarisasi Ukuran Grafit Pada Dapur Crusible.....	10
Tabel 2.2. Koefisien Perpindahan Panas Konveksi Untuk Udara dan Gaya Yang Mengalir Dalam Pipa.....	27

## **DAFTAR GRAFIK**

Grafik 2.1. $\text{CH}_2\text{O} = f(t, P_1)$ = Emisifitas Uap Air.....	30
Grafik 2.2. $c\text{CO}_2 = f(t, P_1)$ = Emisifitas Karbondioksida.....	31
Grafik 2.3. Faktor Cp Untuk Mengoreksi faktor Enitansi Uap Air.....	32
Grafik 2.4. Faktor Cp Untuk Mengoreksi $\text{CO}_2$ .....	33

## **BAB I**

### **PENDAHULUAN**

#### **1.1 Latar Belakang**

Proses pengecoran logam adalah salah satu proses untuk membuat suatu produk atau barang yang telah kita kenal. Pengecoran logam mempunyai atau menghasilkan teknik-teknik pengecoran baru atau pengembangan dari teknik pengecoran yang sudah ada.

Untuk menunjang industri kecil terutama yang menggunakan bahan baku yang menghasilkan produk-produk dari bahan NON FERROUS, diperlukan tempat peleburan logam non ferrous yang sederhana dan ekonomis dengan desain ergonomis sehingga mampu menekan biaya produksi.

Pada perencanaan ini penulis ingin merencanakan suatu dapur non ferrous yang mempunyai beberapa kelebihan, antara lain :

- a. Harga Murah
- b. Sederhana
- c. Kapasitas memadai untuk pengecoran
- d. Ringkas serta praktis dan ergonomis

Diharapkan dengan adanya dapur crucible ini dapat berperan dalam menunjang industri kecil yang ada dan untuk menghasilkan produk coran, maka diperlukan dari dapur pelburan. Dapur peleburan ada bermacam-macam, dimana jenis dapur peleburan itu dapat dibedakan dari bahan bakarnya, logam cair serta kapasitas yang dihasilkan. Maka dapur peleburan dapat dikelompokan sebagai berikut:

108

## MANAJEMEN

1.1. *Lebih Perbaik*

Untuk mencapai tujuan tersebut sebaiknya dilakukan proses manajemen atau

proses pengembangan yang berfokus pada kualitas produk dan memperbaiki kualitas produk

menyajikan produk-konsep barang dengan penerapan teknologi dan teknologi

produksi yang stabil dan

Untuk meningkatkan kualitas teknologi dan pengembangan perusahaan perlu

yang memungkinkan produk-konsep barang yang memiliki teknologi dan teknologi

produk yang memungkinkan teknologi dan teknologi yang memungkinkan teknologi dan teknologi

sehingga memungkinkan teknologi dan teknologi

Pada pertemuan ini bantuan teknologi dan teknologi dan teknologi dan teknologi

dan teknologi dan teknologi dan teknologi dan teknologi dan teknologi dan teknologi

dan teknologi dan teknologi dan teknologi dan teknologi dan teknologi dan teknologi

dan teknologi dan teknologi dan teknologi dan teknologi dan teknologi dan teknologi

c. Kebutuhan teknologi dan teknologi dan teknologi dan teknologi dan teknologi

d. Rintisan teknologi dan teknologi dan teknologi dan teknologi dan teknologi

Diharapkan dengan menggunakan teknologi dan teknologi dan teknologi dan teknologi dan teknologi

dan teknologi dan teknologi dan teknologi dan teknologi dan teknologi dan teknologi dan teknologi

dan teknologi dan teknologi dan teknologi dan teknologi dan teknologi dan teknologi dan teknologi

dan teknologi dan teknologi dan teknologi dan teknologi dan teknologi dan teknologi dan teknologi

dan teknologi dan teknologi dan teknologi dan teknologi dan teknologi dan teknologi dan teknologi

pertama

- Dapur peleburan besi
- Dapur peleburan baja
- Dapur peleburan logam non – ferrous

Pada perancanaan ini penulis juga ingin merencanakan suatu dapur peleburan yang digunakan untuk menghancurkan atau meleburkan logam non-ferrous.

## **1.2 Tujuan Perencanaan**

Tujuan dari perencanaan dan pembuatan dapur crusible peleburan logam non ferrous ini adalah :

1. Dapat menekan biaya serta membuat dapur peleburan non ferrous yang mempunyai kontruksi yang sesederhana mungkin.
2. Dapat merencanakan dan memilih bahan-bahan yang murah dengan kualitas yang baik serta mudah untuk pengadaanya untuk membuat dapur peleburannya tersebut.
3. Dapat meningkatkan efektifitas efisiensi kerja dalam proses peleburan logam non ferrous.

## **1.3 Rumusan Masalah**

Dari uraian diatas maka penulis menemukan suatu permasalahan yang muncul dari perencanaan suatu dapur peleburan yang digunakan untuk meleburkan logam non ferrous dengan masalah:

- a. Koefisien kerugian kalor yang terjadi pada dapur Crusible.
- b. Kalor yang dibutuhkan dapur Crusible untuk meleburkan logam non ferrous.

## Paragon Tugas Karya

Dapat beroperasi pada -

Dapat beroperasi pada -

Dapat beroperasi pada - Jelone

Jelone merupakan suatu sistem komunikasi yang  
dapat beroperasi pada non-fisik dan pada lingkungan

## 3.3.3. Paragon Penetration

non fisis yang dapat diambil dari berbagai sumber dan merupakan hasil kerja

hasil dari teknologi

Dapat mencapai pihak ketiga sebab mengandung informasi

penting untuk keberadaan dan kesejahteraan bangsa

Dapat memotong jalur komunikasi dan memperlambat pertukaran informasi

yang dapat dilakukan dengan cara mengintervensi jalur komunikasi

beroperasi melalui teknologi

Dapat membangun sistem kerja yang efektif dan efisien berdasarkan

non fisik

## 3.3.4. Paragon Manfaat

Dapat memberikan dampak positif bagi masyarakat dan negara

dengan memberikan manfaat bagi masyarakat dan negara

manfaat bagi masyarakat dan negara

o. Kegiatan paragon ketika menyebabkan kerusakan pada sistem

p. Kegiatan menyebabkan kerusakan pada sistem

#### **1.4 Batasan Masalah**

Dalam usaha pembuatan dapur peleburan logam non ferrous sesuai yang diharapkan, dibutuhkan perencanaan yang baik. Penganalisaan dengan jalan mengadakan survey literatur, pengamatan serta perhitungan terhadap konstruksi dapur tersebut.

Adapun batasan masalah dalam perencanaan ini dititik beratkan pada:

1. Pengaruh temperatur pada konstruksi dalam/crusible.
2. Kekuatan sambungan las pada konstruksi dapur.
3. Pengaruh beban logam cair terhadap konstruksi dapur.
4. Konstruksi batu tahan api.

#### **1.5 Metode Penulisan**

Untuk memperoleh data dan rumus-rumus yang digunakan dalam perencanaan ini, penulis menggunakan metode:

1. Study literatur

Dengan menggunakan buku-buku dan matri yang ada sebagai acuan referensi dengan pengarahan dan bimbingan dari dosen pembimbing, guna menganalisa data yang diperoleh untuk disususun dalam suatu perencanaan.

2. Study Observasi

Pengamatan secara langsung pada objek yang direncanakan sehingga didapat data yang akurat untuk kemudian dikaji dan disususun dalam suatu perencanaan.

3. Perencanaan

Merencanakan dimensi dari benda yang akan dibuat serta menerapkan pada saat pembuatan benda kerja.

## **1.6 Keuntungan dan Kerugian Dapur Crusible**

Pada perencanaan ini dipilih jenis dapur crusible dengan menggunakan bahan bakar minyak, karena jenis ini mempunyai kelebihan-kelebihan antara lain:

- a. Mempunyai kontruksi yang sederhana, ringkas cocok digunakan pada industri kecil maupun sebagai perlengkapan praktek pada laboratorium logam.
- b. Perawatannya mudah, karena bagian-bagiannya sedikit, bentuknya relatif kecil dan lebih praktis.
- c. Harga terjangkau.

Disamping keuntungan-keuntungan tersebut diatas dapur crusible juga memiliki kerugian diantaranya:

- a. Hanya dapat digunakan untuk melebur logam-logam tertentu yaitu logam non ferrous.
- b. Kapasitasnya kecil.

## **1.7 Sistematika Penulisan Tugas Akhir**

### **BAB I PENDAHULUAN**

Dalam bab I Pendahuluan akan dibahas mengenai latar belakang Masalah, Tujuan Perencanaan Batasan Masalah, Metode Penulisan dan Sistematika Penulisan Tugas Akhir.

### **BAB II LANDASAN TEORI**

Landasan Teori dan Tinjauan Pustaka didalamnya membahas tentang teori-teori yang berhubungan dengan konstruksi Dapur Crusible dengan menggunakan bahan bakar minyak.

Tabelle 1: Anwendungsfelder der KI	
• Prädiktive Kreditwürdigkeitsbewertung	Prädiktive Kreditwürdigkeitsbewertung ist eine KI-Technologie, die auf historischen Daten basiert und die Wahrscheinlichkeit einer Kreditvergabe für einen potenziellen Kreditnehmer vorhersagt.
• Personalisierung von Werbebotschaften	Personalisierung von Werbebotschaften ist eine KI-Technologie, die auf dem Nutzerprofil basiert und die Werbebotschaften an den individuellen Interessen und Verhaltensmuster des Nutzers anpasst.
• Automatisierte Prozesssteuerung	Automatisierte Prozesssteuerung ist eine KI-Technologie, die den Ablauf von Geschäftsprozessen optimiert und steuert, um die Effizienz und Produktivität zu erhöhen.
• Finanzielle Marktanalyse	Finanzielle Marktanalyse ist eine KI-Technologie, die auf historischen und aktuellen Marktdaten basiert und die Entwicklung von Märkten vorhersagt, um Investitionsentscheidungen zu unterstützen.
• Risikomanagement	Risikomanagement ist eine KI-Technologie, die die Wahrscheinlichkeit von Risiken einschätzt und entsprechende Maßnahmen erarbeitet, um die Auswirkungen von Risiken zu minimieren.
• Prognose von Wirtschaftsindikatoren	Prognose von Wirtschaftsindikatoren ist eine KI-Technologie, die auf historischen Daten basiert und die zukünftige Entwicklung von Wirtschaftsindikatoren vorhersagt.
• Automatisierte Prozesssteuerung	Automatisierte Prozesssteuerung ist eine KI-Technologie, die den Ablauf von Geschäftsprozessen optimiert und steuert, um die Effizienz und Produktivität zu erhöhen.
• Finanzielle Marktanalyse	Finanzielle Marktanalyse ist eine KI-Technologie, die auf historischen und aktuellen Marktdaten basiert und die Entwicklung von Märkten vorhersagt, um Investitionsentscheidungen zu unterstützen.
• Risikomanagement	Risikomanagement ist eine KI-Technologie, die die Wahrscheinlichkeit von Risiken einschätzt und entsprechende Maßnahmen erarbeitet, um die Auswirkungen von Risiken zu minimieren.
• Prognose von Wirtschaftsindikatoren	Prognose von Wirtschaftsindikatoren ist eine KI-Technologie, die auf historischen Daten basiert und die zukünftige Entwicklung von Wirtschaftsindikatoren vorhersagt.

Tabelle 2: Anwendungsfelder der KI	
• Prädiktive Kreditwürdigkeitsbewertung	Prädiktive Kreditwürdigkeitsbewertung ist eine KI-Technologie, die auf historischen Daten basiert und die Wahrscheinlichkeit einer Kreditvergabe für einen potenziellen Kreditnehmer vorhersagt.
• Personalisierung von Werbebotschaften	Personalisierung von Werbebotschaften ist eine KI-Technologie, die auf dem Nutzerprofil basiert und die Werbebotschaften an den individuellen Interessen und Verhaltensmuster des Nutzers anpasst.
• Automatisierte Prozesssteuerung	Automatisierte Prozesssteuerung ist eine KI-Technologie, die den Ablauf von Geschäftsprozessen optimiert und steuert, um die Effizienz und Produktivität zu erhöhen.
• Finanzielle Marktanalyse	Finanzielle Marktanalyse ist eine KI-Technologie, die auf historischen und aktuellen Marktdaten basiert und die Entwicklung von Märkten vorhersagt, um Investitionsentscheidungen zu unterstützen.
• Risikomanagement	Risikomanagement ist eine KI-Technologie, die die Wahrscheinlichkeit von Risiken einschätzt und entsprechende Maßnahmen erarbeitet, um die Auswirkungen von Risiken zu minimieren.
• Prognose von Wirtschaftsindikatoren	Prognose von Wirtschaftsindikatoren ist eine KI-Technologie, die auf historischen Daten basiert und die zukünftige Entwicklung von Wirtschaftsindikatoren vorhersagt.

Tabelle 3: Anwendungsfelder der KI	
• Prädiktive Kreditwürdigkeitsbewertung	Prädiktive Kreditwürdigkeitsbewertung ist eine KI-Technologie, die auf historischen Daten basiert und die Wahrscheinlichkeit einer Kreditvergabe für einen potenziellen Kreditnehmer vorhersagt.
• Personalisierung von Werbebotschaften	Personalisierung von Werbebotschaften ist eine KI-Technologie, die auf dem Nutzerprofil basiert und die Werbebotschaften an den individuellen Interessen und Verhaltensmuster des Nutzers anpasst.
• Automatisierte Prozesssteuerung	Automatisierte Prozesssteuerung ist eine KI-Technologie, die den Ablauf von Geschäftsprozessen optimiert und steuert, um die Effizienz und Produktivität zu erhöhen.
• Finanzielle Marktanalyse	Finanzielle Marktanalyse ist eine KI-Technologie, die auf historischen und aktuellen Marktdaten basiert und die Entwicklung von Märkten vorhersagt, um Investitionsentscheidungen zu unterstützen.
• Risikomanagement	Risikomanagement ist eine KI-Technologie, die die Wahrscheinlichkeit von Risiken einschätzt und entsprechende Maßnahmen erarbeitet, um die Auswirkungen von Risiken zu minimieren.
• Prognose von Wirtschaftsindikatoren	Prognose von Wirtschaftsindikatoren ist eine KI-Technologie, die auf historischen Daten basiert und die zukünftige Entwicklung von Wirtschaftsindikatoren vorhersagt.

### **BAB III PERHITUNGAN PERPINDAHAN PANAS DAN KONSTRUKSI DAPUR CRUSIBLE.**

Pada bab ini dibahas tentang Perhitungan yang dilakukan sehingga didapatkan jawaban dari rumusan masalah yang telah dikemukakan pada bagian sebelumnya.

### **BAB IV PENUTUP**

Penutup merupakan bagian akhir dari suatu laoran yang didalamnya termuat saran-saran dan kesimpulan dari apa yang telah direncanakan sebelumnya.

Pembaharuan

BAKIR PERHILITAN DAN PRINCIPIA DAN KONSEP KONSEP DILAKUKAN

GRUSIBEL

BAGI PEGAWAI DI BAWAH TAHUN DAN DIKOMPAKNAKAN

JANGKA WAKTU DENGAN MASA PENGETAHUAN SEPADAU

BAKIR PERHILITAN

BAGI PEGAWAI DI BAWAH TAHUN DAN DIKOMPAKNAKAN

JANGKA WAKTU DENGAN MASA PENGETAHUAN SEPADAU

\*

## **BAB II**

### **LANDASAN TEORI**

Industri kecil banyak menggunakan logam-logam non ferrous seperti perunggu, kuningan dan alumunium untuk membuat produk-produk seperti patung, peralatan rumah tangga dan sebagainya. Meskipun tidak sekuat besi / baja logam non ferrous mempunyai beberapa kelebihan bila dibanding besi atau baja antara lain adalah :

- Mempunyai daya tahan terhadap korosi.
- Mempunyai konduktifitas listrik dan konduktifitas thermal yang sangat baik.
- Mudah diubah bentuknya.

Pada logam non ferrous dikenal beberapa paduan logam antara lain :

- Paduan Tembaga.
- Paduan Alumunium.
- Paduan Magnesium.
- Paduan Seng.

Diantara paduan-paduan tersebut diatas, paduan tembaga merupakan paduan yang banyak digunakan, sebab selain mempunyai sifat-sifat logam non ferrous seperti yang telah disebutkan diatas, paduan tembaga mempunyai beberapa kelebihan, antara lain :

- Mempunyai penempakan yang menarik.
- Mempunyai sifat mampu tuang yang baik, sehingga paduan tembaga dapat dicor membentuk produk yang bergeometri rumit.
- Mempunyai keuletan yang tinggi.

II

LITERATUR

Indonesian people possess a long-standing tradition of oral literature.  
Innumerable legends and stories have been transmitted orally from one generation to the next.  
Poets and writers have also contributed to the development of Indonesian literature.  
The most famous among them is Djoko Sosroatmodjo, who wrote "Puisi dan puisi dalam sastra".

: selalu

Wentengwulan adalah sebuah kota tua di

Wentengwulan memiliki jalinan dan kontak dengan suatu

per

Wentengwulan merupakan

Indonesia non formal pedesaan yang masih

Pada saat itu ada

Pada saat itu ada

Pada saat itu ada

Pada saat itu ada

Dituturkan pada saat itu ada

Yang pada saat itu ada

: ini

Wentengwulan merupakan

Wentengwulan adalah sebuah kota tua yang

giror Wentengwulan tidak hanya pada wilayah

Wentengwulan kerap kali juga dilakukan

- Mempunyai kekuatan dan kekerasan yang cukup tinggi.

Pada dasarnya dapur peleburan untuk logam-logam non ferrous adalah sama, jadi satu dapur dapat digunakan untuk melebur berbagai logam non ferrous. Dalam perencanaan ini dapur yang direncakan adalah dapur pelebur logam non ferrous.

## **2.1. Paduan Tembaga.**

Paduan tembaga merupakan paduan yang terpenting dan yang paling banyak digunakan diantara paduan-paduan logam non ferrous. Secara umum paduan tembaga terbagi atas :

- Paduan tembaga seng atau kuningan ( Brass ).
- Paduan tembaga-timah putih atau perunggu ( Tin Bronze ).
- Paduan alumunium-bronze.
- Paduan silicon-bronze.

Untuk mendapatkan paduan-paduan ini maka pada waktu peleburan, logam yang memiliki titik cair tertinggi ( dalam hal ini tembaga ) dimasukkan terlebih dahulu kedalam dapur dan dipanaskan sampai mencair seluruhnya, kemudian logam lain yang titik cairnya lebih rendah dimasukkan kedalam dapur sedikit demi sedikit, setelah campuran logam cair itu merata baru kemudian dituang kedalam cetakan ingot.

### **2.1.1. Kuningan**

Kuningan terbentuk dari paduan tembaga dengan seng dengan sedikit unsur yang lain, secara umum kuningan terbagi atas :

1. Red Brass 2-8 % seng.
2. Semi Red Brass 8-17 % seng.
3. Yellow Brass 17 % seng.

## 3.1.2. Yagoda

Mongolian folktales have a good deal of literary

literature which has been passed down from generation to generation.

Many of these stories are very old and have been handed down through the ages.

One such story is about a man who was lost in the forest and found his way home by following a trail of footprints.

## 3.1.3. Pagan Tales

Pagan tales are also quite popular in Mongolia. They tell of various gods and goddesses who live in the mountains and forests.

One such tale is about a man who was lost in the forest and found his way home by following a trail of footprints.

Another tale is about a man who was lost in the forest and found his way home by following a trail of footprints.

The last tale is about a man who was lost in the forest and found his way home by following a trail of footprints.

These tales are quite popular in Mongolia. They tell of various gods and goddesses who live in the mountains and forests.

One such tale is about a man who was lost in the forest and found his way home by following a trail of footprints.

Another tale is about a man who was lost in the forest and found his way home by following a trail of footprints.

The last tale is about a man who was lost in the forest and found his way home by following a trail of footprints.

These tales are quite popular in Mongolia. They tell of various gods and goddesses who live in the mountains and forests.

One such tale is about a man who was lost in the forest and found his way home by following a trail of footprints.

Another tale is about a man who was lost in the forest and found his way home by following a trail of footprints.

The last tale is about a man who was lost in the forest and found his way home by following a trail of footprints.

These tales are quite popular in Mongolia. They tell of various gods and goddesses who live in the mountains and forests.

## 3.1.4. Kunkura

Kunkura is a traditional folk tale from Mongolia. It tells of a man who was lost in the forest and found his way home by following a trail of footprints.

One such tale is about a man who was lost in the forest and found his way home by following a trail of footprints.

Another tale is about a man who was lost in the forest and found his way home by following a trail of footprints.

The last tale is about a man who was lost in the forest and found his way home by following a trail of footprints.

Unsur tambahan yang ada pada kuningan adalah timah putih sebanyak 2-6 % yang berfungsi memperbaiki kekuatan dan 1-8 % timah hitam yang berfungsi untuk memperbaiki sifat mampu mesin ( machinability ).

### **2.1.2. Perunggu**

Perunggu disebut juga Tin-Bronze mengandung 5-10 % timah putih dan 0-4 % seng, bisa juga ditambahkan timbal sejumlah 1-10 % atau lebih dengan tujuan untuk memperbaiki sifat machinability dan castability. Komposisi timah putih sebanyak 9-10 % harus dihindarkan untuk mencegah kerapuhan hasil tuangan.

Perunggu mempunyai ketahanan korosi yang sangat baik dan sifat-sifat yang baik pada temperatur tinggi. Dengan tambahan timbal, perunggu digunakan sebagai bantalan untuk putaran sedang.

### **2.1.3. Alumunium Bronze**

Alumunium Bronze biasanya mengandung 4-13,5% Fe dan sebagian kecil nikel dan mangan. Paduan ini biasanya diheat treatment dengan quenching pada temperatur 875-925° untuk mendapatkan struktur acicular ( serupa martenist ) yang kemudian diikuti oleh tempering pada 480-700°C, perlakuan panas tersebut bertujuan untuk meningkatkan kekuatan dan kekerasannya

Alumunium Bronze mempunyai kekuatan, kekerasan dan ketahanan terhadap fatque dan beban kejut yang lebih baik. Paduan ini juga memiliki kekerasan yang lebih tinggi pada temperatur tinggi bila dibandingkan kuningan dan perunggu. Warna paduan ini serupa dengan emas 10 karat. Alumunium Bronze digunakan untuk roda gigi, propeller, bantalan dengan kekuatan serta kipas.

Ursachen der Verluste und deren Bekämpfung

Wichtigste Maßnahmen zur Verhinderung von Verlusten  
durch Schädlinge

### 5.1.1.1 Erntereife

Früherer Erntetermin führt zu einem höheren Verlust. Dies ist auf die längere Zeit bis zur Reife und die damit verbundene Verunreinigung durch Wildtiere zurückzuführen. Eine spätere Ernte verhindert diesen Verlust.

### 5.1.1.2 Abtrennung Blätter

Voluminöse Blätter müssen abgetrennt werden, um den Verlust zu begrenzen. Dies kann durch mechanische oder chemische Methoden erfolgen. Die Abtrennung kann durch mechanische oder chemische Methoden erfolgen. Die Abtrennung kann durch mechanische oder chemische Methoden erfolgen.

Abtrennung Blätter kann durch mechanische oder chemische Methoden erfolgen. Die Abtrennung kann durch mechanische oder chemische Methoden erfolgen. Die Abtrennung kann durch mechanische oder chemische Methoden erfolgen.

#### 2.1.4. Silikon Bronze

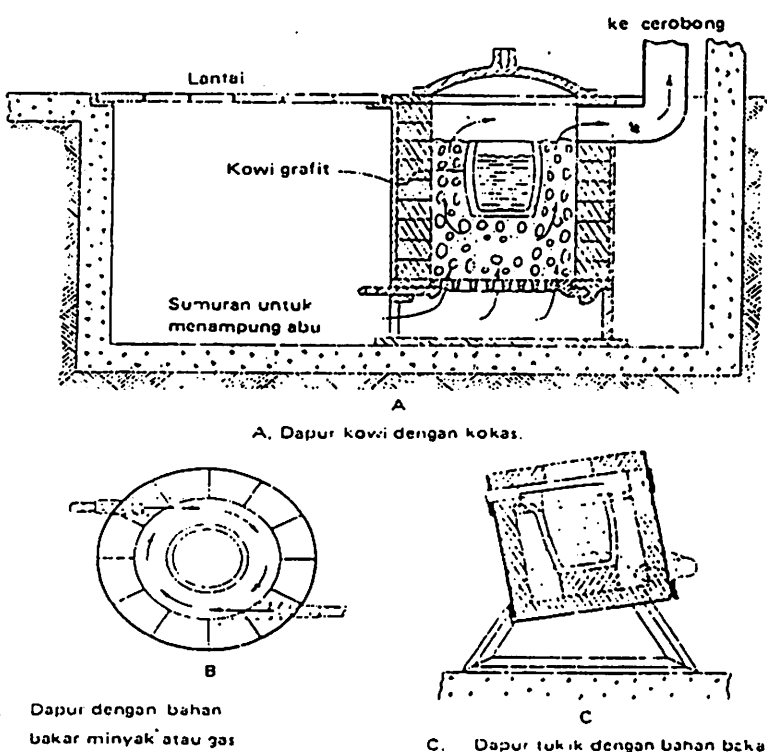
Silikon Bronze mengandung 1-5% Si, dengan sedikit Zn, Sn, Fe dan 0-0,5% Pb. Pb ditambahkan untuk memperbaiki sifat machinability.

Paduan ini memiliki ketahanan korosi yang sangat tinggi / baik terhadap air laut, alkalis dan asam dengan sifat yang baik.

#### 2.2. Dapur Crusible.

Dapur Crusible atau yang sering disebut dapur kowi adalah suatu dapur pelaburan yang berkapasitas kecil, yang biasa digunakan untuk melebur logam-logam non ferrous. Crusible ini terbuat dari campuran tanah liat ( clay ) dengan standart Graphit

( tabel 2.1 ), mudah pecah dalam keadaan biasa tetapi memiliki kekuatan yang cukup berarti dalam keadaan panas. Crusible ini dapat dipanaskan dengan menggunakan minyakn tanah ataupun gas.



Gambar 2.1

Dapur Kowi Untuk Logam Bukan Besi

**Tabel 2.1**  
**Standarisasi Ukuran Grafit Pada dapur Crusible**

Standard sizes of graphite crucibles						
No.	Height outside, in.	Diameter top out, in.	Diameter bilge out, in.	Diameter bottom out, in. <sup>1</sup>	Approx capacity, lb, water full*	Approx working capacity, lb, red brass
0000	2 <sup>1</sup> / <sub>16</sub>	2 <sup>3</sup> / <sub>8</sub>	2 <sup>3</sup> / <sub>8</sub>	1 <sup>3</sup> / <sub>4</sub>	0.25	1.19
1	3 <sup>5</sup> / <sub>8</sub>	3 <sup>3</sup> / <sub>4</sub>	3 <sup>3</sup> / <sub>4</sub>	2 <sup>3</sup> / <sub>4</sub>	0.50	2.96
2	4 <sup>3</sup> / <sub>8</sub>	3 <sup>3</sup> / <sub>4</sub>	3 <sup>3</sup> / <sub>16</sub>	2 <sup>3</sup> / <sub>8</sub>	0.75	4.74
3	5 <sup>5</sup> / <sub>8</sub>	4 <sup>3</sup> / <sub>4</sub>	4 <sup>3</sup> / <sub>8</sub>	3	1.0	8.5
4	5 <sup>3</sup> / <sub>4</sub>	4 <sup>3</sup> / <sub>8</sub>	4 <sup>3</sup> / <sub>16</sub>	3 <sup>1</sup> / <sub>8</sub>	1.50	10.07
6	6 <sup>3</sup> / <sub>8</sub>	5 <sup>3</sup> / <sub>4</sub>	5 <sup>3</sup> / <sub>8</sub>	3 <sup>7</sup> / <sub>8</sub>	2.25	15.41
8	7 <sup>3</sup> / <sub>8</sub>	5 <sup>7</sup> / <sub>8</sub>	5 <sup>3</sup> / <sub>8</sub>	4 <sup>1</sup> / <sub>4</sub>	3.0	20.74
10	8 <sup>3</sup> / <sub>16</sub>	6 <sup>3</sup> / <sub>8</sub>	6 <sup>3</sup> / <sub>16</sub>	4 <sup>1</sup> / <sub>2</sub>	4.81	36.0
12	8 <sup>3</sup> / <sub>8</sub>	6 <sup>3</sup> / <sub>8</sub>	6 <sup>3</sup> / <sub>16</sub>	5 <sup>1</sup> / <sub>16</sub>	5.9	42.0
14	8 <sup>7</sup> / <sub>16</sub>	6 <sup>13</sup> / <sub>16</sub>	7 <sup>3</sup> / <sub>16</sub>	5 <sup>1</sup> / <sub>4</sub>	5.75	48.0
16	9 <sup>3</sup> / <sub>4</sub>	6 <sup>13</sup> / <sub>16</sub>	7 <sup>3</sup> / <sub>8</sub>	5 <sup>3</sup> / <sub>4</sub>	7.18	53.0
18	9 <sup>13</sup> / <sub>16</sub>	7 <sup>3</sup> / <sub>16</sub>	7 <sup>13</sup> / <sub>16</sub>	5 <sup>11</sup> / <sub>16</sub>	8.6	64.0
20	10 <sup>3</sup> / <sub>16</sub>	7 <sup>13</sup> / <sub>16</sub>	8 <sup>3</sup> / <sub>8</sub>	6 <sup>1</sup> / <sub>8</sub>	10.0	74.0
25	10 <sup>13</sup> / <sub>16</sub>	8 <sup>3</sup> / <sub>16</sub>	8 <sup>3</sup> / <sub>8</sub>	6 <sup>1</sup> / <sub>2</sub>	12.0	89.0
30	11 <sup>3</sup> / <sub>8</sub>	8 <sup>5</sup> / <sub>8</sub>	9 <sup>3</sup> / <sub>16</sub>	6 <sup>13</sup> / <sub>16</sub>	14.0	104.0
35	12	9	9 <sup>3</sup> / <sub>4</sub>	7 <sup>3</sup> / <sub>8</sub>	16.0	119.0
40	12 <sup>3</sup> / <sub>8</sub>	9 <sup>3</sup> / <sub>8</sub>	10 <sup>3</sup> / <sub>16</sub>	7 <sup>3</sup> / <sub>16</sub>	18.0	134.0
45	13 <sup>3</sup> / <sub>16</sub>	9 <sup>7</sup> / <sub>8</sub>	10 <sup>13</sup> / <sub>16</sub>	7 <sup>13</sup> / <sub>16</sub>	21.0	157.0
50	13 <sup>3</sup> / <sub>4</sub>	10 <sup>1</sup> / <sub>8</sub>	11 <sup>3</sup> / <sub>8</sub>	8 <sup>3</sup> / <sub>8</sub>	24.0	179.0
60	14 <sup>3</sup> / <sub>16</sub>	10 <sup>13</sup> / <sub>16</sub>	11 <sup>13</sup> / <sub>16</sub>	8 <sup>9</sup> / <sub>16</sub>	28.0	209.0
70	15 <sup>3</sup> / <sub>16</sub>	11 <sup>3</sup> / <sub>8</sub>	12 <sup>3</sup> / <sub>16</sub>	8 <sup>13</sup> / <sub>16</sub>	32.0	239.0
80	15 <sup>5</sup> / <sub>8</sub>	11 <sup>13</sup> / <sub>16</sub>	12 <sup>13</sup> / <sub>16</sub>	9 <sup>3</sup> / <sub>4</sub>	36.0	269.0
90	16 <sup>3</sup> / <sub>16</sub>	12 <sup>3</sup> / <sub>8</sub>	13 <sup>3</sup> / <sub>8</sub>	9 <sup>9</sup> / <sub>16</sub>	40.0	298.0
100	16 <sup>13</sup> / <sub>16</sub>	12 <sup>3</sup> / <sub>4</sub>	13 <sup>3</sup> / <sub>8</sub>	9 <sup>7</sup> / <sub>8</sub>	44.0	328.0
125	17 <sup>3</sup> / <sub>8</sub>	13	14 <sup>3</sup> / <sub>16</sub>	10 <sup>3</sup> / <sub>16</sub>	50.0	373.0
150	18 <sup>3</sup> / <sub>16</sub>	13 <sup>3</sup> / <sub>4</sub>	14 <sup>3</sup> / <sub>8</sub>	10 <sup>7</sup> / <sub>8</sub>	60.0	468.0
175	19 <sup>3</sup> / <sub>8</sub>	14 <sup>3</sup> / <sub>8</sub>	15 <sup>3</sup> / <sub>16</sub>	11 <sup>3</sup> / <sub>8</sub>	70.0	523.0
200	20	15	16 <sup>1</sup> / <sub>8</sub>	11 <sup>3</sup> / <sub>8</sub>	80.0	597.0
225	20 <sup>3</sup> / <sub>4</sub>	15 <sup>3</sup> / <sub>8</sub>	16 <sup>13</sup> / <sub>16</sub>	12 <sup>3</sup> / <sub>16</sub>	90.0	672.0
250	21 <sup>3</sup> / <sub>8</sub>	16	17 <sup>5</sup> / <sub>16</sub>	12 <sup>11</sup> / <sub>16</sub>	100.0	747.0
275	22	16 <sup>7</sup> / <sub>16</sub>	17 <sup>13</sup> / <sub>16</sub>	13	110.0	822.0
300	22 <sup>3</sup> / <sub>8</sub>	16 <sup>7</sup> / <sub>8</sub>	18 <sup>3</sup> / <sub>4</sub>	13 <sup>3</sup> / <sub>8</sub>	120.0	896.0
400	24 <sup>5</sup> / <sub>16</sub>	18 <sup>3</sup> / <sub>16</sub>	19 <sup>13</sup> / <sub>16</sub>	14 <sup>7</sup> / <sub>16</sub>	160.0	1195.0

\* Multiply water capacity by specific gravity of metal to find capacity in other alloys.

### **2.2.1. Keuntungan dan Kerugian Dapur Crusible.**

Pada perencanaan ini dipilih jenis dapur crusible dengan menggunakan bahan bakar minyak, karena jenis ini mempunyai kelebihan-kelebihan antara lain :

- a. Mempunyai konstruksi yang sederhana, ringkas cocok digunakan pada industri kecil maupun sebagai perlengkapan praktik pada laboratorium logam.
- b. Perawatanya mudah, karena bagian-bagiannya sedikit,bentuknya relatif kecil dan lebih praktis.
- c. Harga terjangkau.

Disamping keuntungan tersebut diatas dapur crusible juga memiliki kerugian, diantaranya :

- a. Hanya dapat digunakan untuk melebur logam-logam tertentu yaitu logam non ferrous.
- b. Kapasitasnya kecil.

### **2.2.2. Bagian – Bagian Utama dari Dapur Crusible.**

Bagian-bagian utama dapur crusible yang direncanakan adalah sebagai berikut :

### 5.5.1. Konsequenzen der Kreditrisiko-Prämie (Cont'd)

Während potentielle Gewinne bei geringer Lichte des Kredits ausgenutzt werden können, kann die Prämie

die Kosten eines Kredits erhöhen, wenn die Prämie höher ist als die tatsächliche Risikoprämie.

a) Wiederholende Kontrollen führen zu höheren Kosten für den Kreditnehmer, da sie die Kosten der Kontrollen erhöhen.

b) Einfluss auf die Kapitalstruktur: Wenn die Prämie höher ist als die Kosten der Kontrollen, erhöht sie die Kosten des Kredits.

Logistik

c) Einfluss auf die Finanzierung: Wenn die Prämie höher ist als die Kosten der Kontrollen, erhöht sie die Kosten der Finanzierung.

Kost der Kapital

d) Einfluss auf die Investitionen

Durch niedrigere Kontrollen können die Kosten des Kredits gesenkt werden, was die Rentabilität erhöht.

diminishing returns

a) Einfluss auf die Entwicklung des Kredits: Wenn die Prämie höher ist als die Kosten der Kontrollen, erhöht sie die Kosten des Kredits.

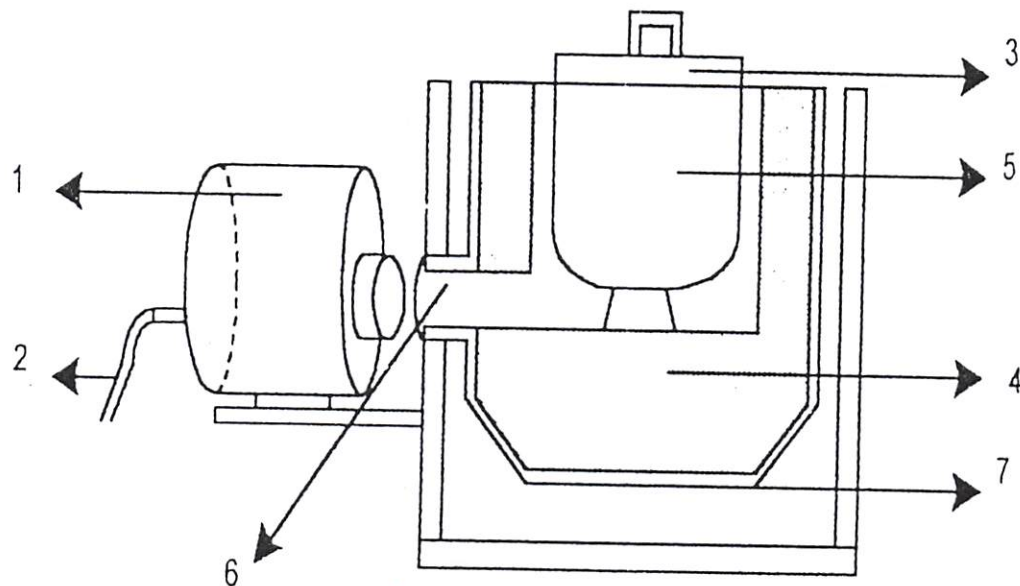
finanzielle

b) Absatzmärkte

### 5.5.2. Brüder - Brüder (Cont'd und Tabu-Critizismus)

Brüder-Brüder ist eine Form der Brüderlichkeit, die auf dem Prinzip der Brüderlichkeit basiert.

1. Penampang bahan bakar.
2. Saluran bahan bakar.
3. Tutup dapur Crusible.
4. Batu tahan api / refraktori.
5. Kowi / Crusible.
6. Burner.
7. Rumah dapur Crusible.



Gambar 2.2

Dapur Crusible

1. Pauschalbegutachtungspersonen
2. Schriftliche Beurteilungspersonen
3. Tandem-Asbest-Crispide
4. Durchsichter bei Verteilungskontrolle
5. Komit-Crispide
6. Brumet
7. Rundschreibendes Crispide

Quellen: 5, 6

Dabur-Crispide

### **2.2.3. Bahan Refraktori.**

Temperatur yang dihasilkan oleh gas asap yang dihasilkan dalam peleburan logam tinggi sekali, bisa mencapai  $1500^{\circ}\text{C}$  lebih. Untuk menambah temperatur yang tinggi ini maka dinding dapur perlu dilapisi oleh suatu bahan yang tahan temperatur tinggi yang biasa disebut bahan refraktori. Bentuk bahan refraktori dapat berupa tepung ( power ), batu brick atau disebut juga batu tahan api, serta bentuk khusus yang mampu menahan temperatur yang tinggi. Secara umum bahan refraktori ini memiliki sifat-sifat sebagai berikut :

- Tahan terhadap temperatur tinggi.
- Mempunyai volume yang tetap dan keporiusan yang tertentu.
- Tidak bereaksi dengan logam cair maupun gas-gas yang dihasilkan pada proses pembakaran.
- Mempunyai kekuatan mekanis yang cukup tinggi.

Menurut sifat kimianya bahan refraktori dibagi menjadi tiga jenis, yaitu :

#### **1. Refraktori Asam**

Bahan utama refraktori asam adalah pasir silica yang mengandung 93-100%  $\text{SiO}_2$ . Ground Quarzite yang mengandung 93-97%  $\text{SiO}_2$  biasa digunakan untuk membuat batu brick yang digunakan pada dinding, atap dan atas dari dapur Open Hearth, Electrik dan lainnya. Titik leleh dari batu brick ini mencapai  $1690\text{-}1730^{\circ}\text{C}$  dan temperatur mulai lunak adalah  $1550^{\circ}\text{C}$ .

1.2.3. Permeation Measurement

The measurement of permeation is performed by a gas flow system. A pump is used to draw air through the sample. The air passes through a filter and then enters the chamber containing the sample. The pressure in the chamber is measured and recorded. The air then passes through a second filter and then back to the pump. The process is repeated until the desired pressure is reached. The permeation rate is calculated by dividing the total pressure change by the time taken for the change to occur.

1.2.4. Permeation Measurement

The measurement of permeation is performed by a gas flow system. A pump is used to draw air through the sample. The air passes through a filter and then enters the chamber containing the sample. The pressure in the chamber is measured and recorded. The air then passes through a second filter and then back to the pump. The process is repeated until the desired pressure is reached. The permeation rate is calculated by dividing the total pressure change by the time taken for the change to occur.

1.2.5. Permeation Measurement

The measurement of permeation is performed by a gas flow system. A pump is used to draw air through the sample. The air passes through a filter and then enters the chamber containing the sample. The pressure in the chamber is measured and recorded. The air then passes through a second filter and then back to the pump. The process is repeated until the desired pressure is reached. The permeation rate is calculated by dividing the total pressure change by the time taken for the change to occur.

## 2. Refraktori Biasa

Yang termasuk dalam bahan refraktori biasa adalah Calcined - dolomite dan Calcined - Magnesite, Calcined - Dolomite didapat dengan cara memanaskan batu dolomite- $MgCO_3CaCO_3$  pada temperatur  $1600^{\circ}C$  sehingga gas  $CO^2$  keluar dari bahan ini. Calcined – Dolomite mengandung 52-58 % CaO dan 35-38 % MgO, Calcined – Dolomite mampu menahan panas sampai temperatur  $1800-1950^{\circ}C$ . Sedangkan Calcined – Magnesite didapat dengan memanasksn batu Magnesite  $MgCO_3$  sehingga gas  $CO_2$  keluar dan didapat oksida MgO. Calcined – Magnesite ini mempunyai titik leleh sampai  $2000^{\circ}C$ .

## 3. Refraktori Netral

Yang termasuk refraktori netral adalah Calcined – Fireclay. Calcined – Fireclay didapat dengan memanaskan Fireclay kasar ( $AL_2O_3 \cdot 2SiO_2 \cdot 2H_2O$ ) sehingga  $H_2O$  teruap dan hanya tersisa  $Al_2O_2$  dan  $SiO_2$  yang disebut Calcined Mass atau Grogg / Chamote.

Grogg mem[punyai ketahanan panas sampai temperatur  $1610^{\circ}C-1670^{\circ}C$ . Untuk membuat bentuk seperti Brick Seeves atau batu tahan api, maka dipakai campuran 50-60 % ground grogg dan 40-50 % Fireclay kasar yang kemudian di cetak dan dipanaskan sampai  $1300^{\circ}C-1400^{\circ}C$ . Chamote Brick mengandung 55-60 %  $SiO_2$ , 34-38 %  $Al_2O_3$  dan 1,5 – 3 %  $Fe_2O_3$ . Akhir-akhir ini sering dipakai High – Alumunium refraktori yang mengandung  $Al_2O_3 > 40\%$  karena bahan ini memiliki kestabilan kimia ( tidak mudah bereaksi dengan unsur lain ).

## 3. Reaktionen mit Wasser

Überwiegend mit Wasser reagiert Calcium-Carbonat zu Calcium-Hydroxid. Dieser Vorgang ist abhängig von der Temperatur und dem Druck. Bei niedrigen Temperaturen und Drücken wird Calcium-Carbonat unter Aufnahme eines Wassermoleküls zu Calcium-Hydroxid umgesetzt:

$$\text{CaCO}_3 + \text{H}_2\text{O} \rightarrow \text{Ca(OH)}_2 + \text{CO}_2$$

Bei höheren Temperaturen und Drücken wird Calcium-Carbonat unter Aufnahme zweier Wassermoleküls zu Calcium-Hydroxid umgesetzt:

$$\text{CaCO}_3 + 2\text{H}_2\text{O} \rightarrow \text{Ca(OH)}_2 + \text{Ca(HCO}_3\text{)}_2$$

Bei weiteren Anstieg der Temperatur und des Drucks wird Calcium-Carbonat unter Aufnahme von drei Wassermoleküls zu Calcium-Hydroxid umgesetzt:

$$\text{CaCO}_3 + 3\text{H}_2\text{O} \rightarrow \text{Ca(OH)}_2 + \text{Ca(HCO}_3\text{)}_3$$

Bei weiterem Anstieg der Temperatur und des Drucks wird Calcium-Carbonat unter Aufnahme von vier Wassermoleküls zu Calcium-Hydroxid umgesetzt:

$$\text{CaCO}_3 + 4\text{H}_2\text{O} \rightarrow \text{Ca(OH)}_2 + \text{Ca(HCO}_3\text{)}_4$$

## 3. Reaktionen mit Säuren

Überwiegend mit Säuren reagiert Calcium-Carbonat zu Calcium-Hydroxid. Dieser Vorgang ist abhängig von der Temperatur und dem Druck. Bei niedrigen Temperaturen und Drücken wird Calcium-Carbonat unter Aufnahme eines Wassermoleküls zu Calcium-Hydroxid umgesetzt:

$$\text{CaCO}_3 + \text{H}_2\text{O} \rightarrow \text{Ca(OH)}_2 + \text{CO}_2$$

Bei höheren Temperaturen und Drücken wird Calcium-Carbonat unter Aufnahme zweier Wassermoleküls zu Calcium-Hydroxid umgesetzt:

$$\text{CaCO}_3 + 2\text{H}_2\text{O} \rightarrow \text{Ca(OH)}_2 + \text{Ca(HCO}_3\text{)}_2$$

Bei weiteren Anstieg der Temperatur und des Drucks wird Calcium-Carbonat unter Aufnahme von drei Wassermoleküls zu Calcium-Hydroxid umgesetzt:

$$\text{CaCO}_3 + 3\text{H}_2\text{O} \rightarrow \text{Ca(OH)}_2 + \text{Ca(HCO}_3\text{)}_3$$

Bei weiterem Anstieg der Temperatur und des Drucks wird Calcium-Carbonat unter Aufnahme von vier Wassermoleküls zu Calcium-Hydroxid umgesetzt:

$$\text{CaCO}_3 + 4\text{H}_2\text{O} \rightarrow \text{Ca(OH)}_2 + \text{Ca(HCO}_3\text{)}_4$$

Bei weiterem Anstieg der Temperatur und des Drucks wird Calcium-Carbonat unter Aufnahme von fünf Wassermoleküls zu Calcium-Hydroxid umgesetzt:

$$\text{CaCO}_3 + 5\text{H}_2\text{O} \rightarrow \text{Ca(OH)}_2 + \text{Ca(HCO}_3\text{)}_5$$

Bei weiterem Anstieg der Temperatur und des Drucks wird Calcium-Carbonat unter Aufnahme von sechs Wassermoleküls zu Calcium-Hydroxid umgesetzt:

$$\text{CaCO}_3 + 6\text{H}_2\text{O} \rightarrow \text{Ca(OH)}_2 + \text{Ca(HCO}_3\text{)}_6$$

Bei weiterem Anstieg der Temperatur und des Drucks wird Calcium-Carbonat unter Aufnahme von sieben Wassermoleküls zu Calcium-Hydroxid umgesetzt:

$$\text{CaCO}_3 + 7\text{H}_2\text{O} \rightarrow \text{Ca(OH)}_2 + \text{Ca(HCO}_3\text{)}_7$$

Bei weiterem Anstieg der Temperatur und des Drucks wird Calcium-Carbonat unter Aufnahme von acht Wassermoleküls zu Calcium-Hydroxid umgesetzt:

$$\text{CaCO}_3 + 8\text{H}_2\text{O} \rightarrow \text{Ca(OH)}_2 + \text{Ca(HCO}_3\text{)}_8$$

Bei weiterem Anstieg der Temperatur und des Drucks wird Calcium-Carbonat unter Aufnahme von neun Wassermoleküls zu Calcium-Hydroxid umgesetzt:

$$\text{CaCO}_3 + 9\text{H}_2\text{O} \rightarrow \text{Ca(OH)}_2 + \text{Ca(HCO}_3\text{)}_9$$

Bei weiterem Anstieg der Temperatur und des Drucks wird Calcium-Carbonat unter Aufnahme von zehn Wassermoleküls zu Calcium-Hydroxid umgesetzt:

$$\text{CaCO}_3 + 10\text{H}_2\text{O} \rightarrow \text{Ca(OH)}_2 + \text{Ca(HCO}_3\text{)}_{10}$$

### **2.3. Bahan Bakar.**

Pada proses peleburan dibutuhkan panas / kalor untuk menaikkan temperatur logam dan mengubah fase logam dari padat menjadi cair. Panas untuk peleburan dihasilkan dari pembakaran bahan bakar, yang kemudian dialirkan menuju logam baik secara konduksi, konveksi, maupun radiasi.

#### **2.3.1. Macam – Macam Bahan Bakar.**

1. Bahan bakar cair seperti gasoline, kerosene / minyak tanah, diesel oil.
2. Bahan bakar gas seperti natural gas, coke oven, blast furnace gas.
3. Bahan bakar padat seperti charcoal, coke, coal.

#### **2.3.2. Bahan Bakar Minyak Tanah.**

Bila dibandingkan dengan bahan bakar yang lain, maka bahan bakar cair minyak tanah mempunyai ciri-ciri tertentu. Ciri-ciri bahan bakar cair yang perlu diketahui secara umum, adalah :

##### **1. Berat Jenis**

Berat jenis adalah suatu perbandingan antara berat bahan bakar minyak yang dimaksud dengan berat air yang volumenya sama dimana kedua cairan itu memiliki temperatur yang sama  $15,556^{\circ}\text{C}$ . Bahan bakar cair umumnya memiliki berat jenis antara  $0,82 - 0,96 \text{ kg/dm}^3$ , lebih kecil bila dibandingkan dengan air.

##### **2. Viskositas**

Viskositas adalah ukuran dari besarnya perlawanan suatu zat cair untuk mengalir atau besarnya tahanan geser dalam suatu zat cair, makin tinggi viksositasnya, makin tinggi pula tahanan gesernya sehingga zat cair semakin sukar mengalir.

### 3.3.1. Japanische Religionen

Japanische Religionen sind nicht so wie die westlichen Religionen, sondern sie sind mehr als religiöse Praktiken und Mythen. Sie sind ein Teil des kulturellen Erbes Japans und haben eine lange Geschichte.

Die wichtigsten Religionen in Japan sind Shintoismus, Buddhismus und Christianity.

### 3.3.2. Shintoismus – Japanische Religion

1. Shinto ist eine alte Religion, die vor über 1000 Jahren entstanden ist. Sie ist eine Kulturreligion, die auf dem Glauben an Kami (Götter) basiert.
2. Shinto ist eine Religion, die sich auf die Natur und die Naturkräfte konzentriert.
3. Shinto ist eine Religion, die auf die Natur und die Naturkräfte konzentriert.

### 3.3.3. Buddhismus – Japanische Religion

1. Der Buddhismus ist eine Religion, die vor über 2000 Jahren entstanden ist. Sie ist eine Kulturreligion, die auf dem Glauben an Buddha (die Weisheit) basiert.
2. Der Buddhismus ist eine Religion, die sich auf die Natur und die Naturkräfte konzentriert.
3. Der Buddhismus ist eine Religion, die auf die Natur und die Naturkräfte konzentriert.

1. Der Buddhismus ist eine Religion, die sich auf die Natur und die Naturkräfte konzentriert.

1. Der Buddhismus ist eine Religion, die sich auf die Natur und die Naturkräfte konzentriert.
2. Der Buddhismus ist eine Religion, die sich auf die Natur und die Naturkräfte konzentriert.
3. Der Buddhismus ist eine Religion, die sich auf die Natur und die Naturkräfte konzentriert.

2. Der Buddhismus ist eine Religion, die sich auf die Natur und die Naturkräfte konzentriert.

1. Der Buddhismus ist eine Religion, die sich auf die Natur und die Naturkräfte konzentriert.
2. Der Buddhismus ist eine Religion, die sich auf die Natur und die Naturkräfte konzentriert.
3. Der Buddhismus ist eine Religion, die sich auf die Natur und die Naturkräfte konzentriert.

3. Der Buddhismus ist eine Religion, die sich auf die Natur und die Naturkräfte konzentriert.

### **3. Nilai Kalor**

Bahan bakar minyak mempunyai nilai kalor ( gross caloric value ) antara 18300 – 19800 Btu/lb. Nilai kalor adalah besarnya panas atau kalor yang diperoleh dari pembakaran tiap satuan berat dengan oksigen.

### **4. Titik Nyala ( Flash Point )**

Titik nyala suatu bahan bakar minyak adalah terendah dimana akan timbul nyala api dalam sekejap apabila pada permukaan bahan bakar minyak tersebut didekatkan ke api.

Pada perencanaan dapur crusible ini disebut juga minyak tanah, yang mempunyai komposisi sebagai berikut ( dalam % berat ) yaitu :

$$C = 84 ; S = 0,9$$

$$H = 16 ; O = 0,1$$

#### **2.3.3. Keuntungan Bahan Bakar Minyak Tanah.**

Pada perencanaan dapur crusible ini bahan bakar yang dipakai adalah bahan bakar cair yang jenisnya kerosin / minyak tanah. Adapun keuntungan bahan bakar cair dibandingkan dengan bahan bakar lainnya adalah :

- a. Harganya relatif murah.
- b. Peralatan yang digunakan untuk pembakaran lebih murah.
- c. Tidak menimbulkan kotoran atau sampah sisa pembakaran.

#### **2.4. Pengaruh Perubahan temperatur Pada Material Konstruksi.**

Pada dapur peleburan yang direncakan material konstruksi bekerja pada temperatur yang tinggi. Pada dapur crusible material yang dipakai adalah baja sebagai tabung dan kowinya, sehingga dalam suatu benda padat ada lubang, volum benater tersebut akan bertambah apabila benda itu memuoi, tidak beda bila sekiranya lubang

3. Nitric Oxide

(Bogazici University International Journal of Biology (Biology and Biochemistry))

Volume 18(30) - 1980 Bilkent Nitric Oxide Research Institute Ankara Turkey

Journal of Nitric Oxide Research and Development (Journal of Nitric Oxide Research)

4. Nitric Oxide (Hass Point)

Journal of Nitric Oxide Research and Development (Journal of Nitric Oxide Research)

Journal of Nitric Oxide Research and Development (Journal of Nitric Oxide Research)

Journal of Nitric Oxide Research and Development (Journal of Nitric Oxide Research)

Journal of Nitric Oxide Research and Development (Journal of Nitric Oxide Research)

Journal of Nitric Oxide Research and Development (Journal of Nitric Oxide Research)

0.0 = 2 ; 48 = C

1.0 = 0 ; 01 = H

## 3.2. Constant Current Method (Constant Current Method)

Pad electrodes made from carbonized graphite powder were used for the experiments.

Our study involved two types of experiments, i.e., constant potential experiments and

constant current experiments performed under the same conditions.

As a reference electrode,

silver-silver chloride was used during the experiments.

The experiments were carried out at room temperature.

3.3. Potentiodynamic Polarization Process (Potentiodynamic Polarization Process)

After the initial polarization, the potential was increased at a rate of 10 mV/s.

At each 100 mV increase in potential, the current was measured at a rate of 10 mV/s.

The potential was increased until the current reached a value of 100 mA/cm<sup>2</sup>.

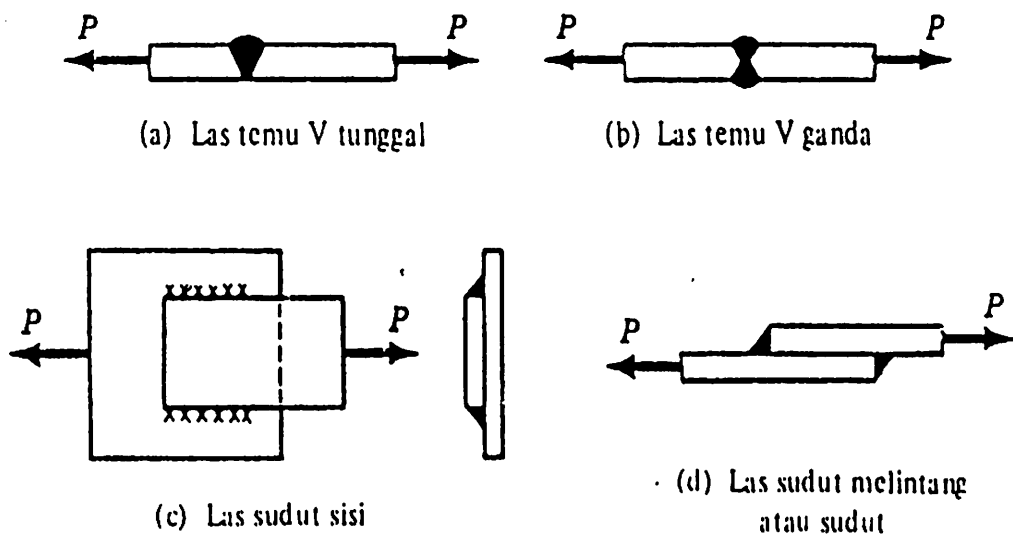
After reaching the maximum current, the potential was decreased at a rate of 10 mV/s.

itu zat padat dari bahan yang sama dengan bahan bendanya. Hal ini selalu terjadi, sekalipun lubang ini menjadi demikian besar sehingga benda sekililingnya menjadi seperti kulit tipis. Jadi volumenya yang melingkupi suatu bejana dari baja berdinding

tipis atau bola, akan membesar seperti membesarnya suatu benda padat dari baja yang akan ukuranya sama.

## 2.5. Sambungan Las.

Pengelasan adalah metode mengikat logam dengan leburan, dengan panas dari busur listrik atau semburan oxiacetyline, logam pada sambungan dilebur dan difuses dengan logam tambahan dari batang las. Terdapat dua type utama las yaitu las temu dan las sudut.



Gambar 2.3

Macam-Macam Type Las

that is, the number of molecules per unit area per second that pass through a unit area in a given direction in a unit time interval, is given by

$$J = \frac{N}{A} \cdot \frac{v}{2} \cdot \cos(\theta) \cdot \frac{1}{2} \cdot e^{-\frac{E}{kT}} \cdot \left( 1 + \frac{1}{e^{\frac{E}{kT}}} \right)^{-2}$$

where  $N$  is the total number of molecules per unit volume,  $A$  is the area,  $v$  is the average molecular velocity,  $\theta$  is the angle between the direction of motion and the normal to the surface,  $E$  is the energy of the molecule,  $k$  is the Boltzmann constant, and  $T$  is the absolute temperature. This equation shows that the rate of transfer of momentum is proportional to the number density of molecules, the molecular velocity, and the cosine of the angle between the direction of motion and the normal to the surface.

### 3.2.2. Diffusion Coefficients

The diffusion coefficient is defined as the rate at which a substance diffuses through a unit area per unit time. It can be calculated from the following equation:

$$D = \frac{J}{\mu} = \frac{N}{A} \cdot \frac{v}{2} \cdot \cos(\theta) \cdot \frac{1}{2} \cdot e^{-\frac{E}{kT}} \cdot \left( 1 + \frac{1}{e^{\frac{E}{kT}}} \right)^{-2}$$

where  $J$  is the rate of transfer of momentum,  $\mu$  is the dynamic viscosity,  $N$  is the total number of molecules per unit volume,  $A$  is the area,  $v$  is the average molecular velocity,  $\theta$  is the angle between the direction of motion and the normal to the surface,  $E$  is the energy of the molecule,  $k$  is the Boltzmann constant, and  $T$  is the absolute temperature.

### 3.3. Numerical Results

#### 3.3.1. Velocity-Weight Type Flow

Gambar-gambar diatas menggambarkan jenis-jenis yang banyak dipakai oleh perencana. Untuk elemen mesin yang umum kebanyakan las adalah las sudut walaupun las temu banyak dipakai dalam perencanaan tabung tekan.

Untuk menghitung tegangan normal rata – rata akibat pembebanan tarik maupun tekan dipakai rumus berikut.

$$\sigma = \frac{F}{hl}$$

Dimana :

$\sigma$  = Tegangan normal

F = Gaya

h = Tinggi leher las

l = Panjang pengelasan

Tinggi h tidak termasuk tinggi perkuatan, perkuatan diperlukan untuk mengimbangi pemasukan tegangan dititik A, seperti tampak pada gambar , dan sebaiknya perkuatan ini dihilangkan dengan jalan menggerinda. Tegangan rata – rata las temu karena pembebanan geser adalah :

$$\sigma = \frac{F}{hl}$$

Computer-Aided Design Methodologies for Electronic Packaging  
Performance. Future electronic design automation technologies will enable  
manufacturing processes to move from discrete devices to integrated packaging units.  
Future microsystems technology will be driven by the need for  
miniaturization, increased functionality and reduced cost.

$$\frac{A}{M} = \alpha$$

Dimension:

bottom margin = 0

GBS = 0

left margin = 0

right margin = 0

The following figure shows the layout of a printed circuit board (PCB) for a  
multichip module (MCM). The PCB is 100 mm wide and 150 mm long. The  
layout consists of a central rectangular area for the chips, surrounded by a  
border of width 5 mm. The total width of the PCB is 100 mm, so the width of  
the central area is 90 mm. The total length of the PCB is 150 mm, so the length  
of the central area is 140 mm. The central area is divided into four quadrants, each  
containing one chip. The chips are arranged in a 2x2 grid. The distance between  
the centers of the chips is 20 mm. The distance between the outer edges of the  
chips and the inner edges of the border is 5 mm. The distance between the outer  
edges of the border and the outer edges of the PCB is 5 mm. The distance  
between the inner edges of the border and the inner edges of the PCB is 5 mm.

$$\frac{A}{M} = \alpha$$

Untuk keperluan perencanaan adalah biasa mendasarkan tegangan geser pada luas las dan mengabaikan tegangan normal sekaligus. Jadi persamaan untuk tegangan rata-rata adalah :

$$\Gamma = \frac{F}{0,707hl}$$

dan biasanya dipakai perencanaan sambungan yang mempunyai las sudut. Dalam kasus las sudut pengandaian dari tegangan geser disepanjang leher las lebih realistik. Karena terdapat dua las, luas leher untuk keduanya adalah :

$A = 2 ( 0,707hl ) = 1,414 hl$  maka tegangan rata-rata adalah :

$$\Gamma = \frac{F}{1,414hl}$$

sebab distribusi tegangan sepanjang panjang las tersebut tidak merata.

## **2.6. Faktor Keamanan.**

Istilah faktor keamanan banyak dipakai industri, yang arti dan maksudnya dengan jelas. Begitupun, istilah faktor keamanan adalah istilah yang terlalu umum untuk semua jenis kegiatan, merupakan angka tersendiri yang secara statistik bervariasi. Karena alasan ini, suatu faktor keamanan dengan  $n > 1$  tidak menghalangi terjadinya kegagalan.

Faktor keamanan dinyatakan dengan :

$$n = \frac{F}{F} = \frac{S}{\sigma}$$

Er zijn verschillende belangrijke voorwaarden voor de bestrijding van een brand:

- De brand moet snel en vroeg worden ontdekt.
- De brand moet snel en vroeg worden bestreden.
- De brand moet snel en vroeg worden gedetecteerd.

$$\frac{V}{V_0} = 1,0$$

Deze voorwaarden kunnen worden samengevat in de volgende Driehoek:

Kennen de brand en kan deze worden bestreden door de brandweer.

Kennen de brand en kan deze worden gedetecteerd door de brandweer.

Kennen de brand en kan deze worden gedetecteerd door de brandweer.

$$\frac{V}{V_0} = 1,1$$

Als de brandweer de brand niet kan bestrijden dan moet de brandweer de brand opgeven aan de politie.

### 5.2. Deel 2: Brandbestrijding

Deel 2 beschrijft de verschillende mogelijkheden om een brand te bestrijden:

- Brandweer kan de brand bestrijden.
- Brandweer kan de brand niet bestrijden.
- Brandweer kan de brand niet bestrijden.
- Brandweer kan de brand niet bestrijden.

$$\frac{V}{V_0} = \frac{V}{V_0} = 1,1$$

Dimana :

$F_u$  = Beban maksimum

$F$  = Gaya

$n$  = Faktor keamanan

$S$  = Kekuatan

$\sigma$  = Tegangan

Pada rumus diatas  $S$  adalah pembatas  $\sigma$ . Tentu saja, kalau  $S$  suatu kekuatan geser maka  $\sigma$  haruslah suatu tegangan geser jadi keduanya harus konsisten.

## **2.7. Batu Tahan Api / Refraktori.**

Temperatur yang dihasilkan oleh gas asap biasa mencapai  $1500^\circ C$  lebih.

Untuk menahan temperatur yang tinggi ini maka dinding tabung perlu dilapisi oleh suatu bahan yang terhadap temperatur yang biasa disebut refraktori. Bentuk bahan ini dapat berupa tepung, batu bentuk khusus. Secara umum bahan refraktori ini memiliki sifat-sifat sebagai berikut :

- Tahan terhadap temperatur tinggi.
- Mempunyai volume yang tetap dan keporiusan yang tertentu.
- Tidak bereaksi dengan logam cair maupun gas-gas yang dihasilkan pada proses pembakaran.
- Mempunyai kekuatan mekanis yang cukup tinggi.

## **2.8. Burner.**

Burner yang digunakan dalam perencanaan ini menggunakan burner yang biasa digunakan untuk memanaskan aspal dengan dimensi 17,5 cm, panjang 270 cm,

— відповідальність за відповідність

— Овсянникова

— Підготував документ

— Кривошина

— Тимохін

Паспортні дані та паспортні засоби

Всесоюзний паспортний реєстратор

## 2.8. Паспортні засоби

Паспортні засоби використовуються для

запису відповідної інформації про паспортистів

зокрема про їхніх паспортних даних та паспортів.

Задача паспортного реєстраційного відділу

записувати паспортні засоби

записувати паспортні засоби

записувати паспортні засоби

записувати

записувати паспортні засоби

## 2.8. Бумажні

Бумажні засоби використовуються для

записувати паспортні засоби

dengan bahan bakar minyak tanah yang mudah di dapat di pasaran. Mampu menghasilkan semburan api yang maksimal hingga tercapai suhu / temperatur yang cukup untuk melebur logam-logam non ferrous.

### **2.9. Perhitungan Perpindahan Panas Dalam Dapur Crusible.**

Pada dapur crusible terjadi perpindahan panas dari sumber panas ( gas asap yang bertemperatur tinggi ) menuju bidang pemanas ( Crusible ) dan dinding sekitarnya. Perpindahan dari gas asap ini berlangsung secara radiasi dan konveksi. Panas yang diterima oleh bidang pemanas akan diteruskan konduksi menuju logam yang akan dilebur, sedangkan panas yang diterima dinding akan dihambat oleh dinding, sehingga hanya sebagian kecil saja panas yang diteruskan keluar menuju permukaan luar dinding terjadi perpindahan panas secara konveksi alami dan radiasi dari permukaan dinding menuju udara sekitarnya.

Secara umum perpindahan panas, baik untuk konveksi, konduksi maupun radiasi dapat dinyatakan sebagai berikut :

$$Q = U \cdot A \cdot \Delta T$$

Dimana :

$Q$  = Panas yang dipindahkan tiap satuan waktu ( Kcal / hr ).

$U$  = Koefisien perpindahan panas total ( Kcal / hr ).

$A$  = Luas dinding (  $m^2$  ).

$\Delta$  = Beda temperatur (  $^{\circ}C$  ).

heat transfer between two surfaces separated by a thin film of liquid. A number of correlations have been developed for this type of heat transfer, and they will be discussed in the next section.

### 3.3. Fins and Magnitude of Heat Transfer Coefficients

Practically all convective heat transfer problems can be solved by using the same basic approach. This approach consists of three steps: (1) defining the problem, (2) formulating a solution, and (3) solving the equations. The first step involves defining the problem, which includes specifying the geometry, boundary conditions, and properties of the fluid and solid. The second step involves formulating a solution, which includes developing a mathematical model and solving the resulting equations. The third step involves solving the equations and determining the results. The magnitude of the heat transfer coefficient depends on the type of fluid, the geometry of the system, and the operating conditions. The magnitude of the heat transfer coefficient is also affected by the presence of fins, which increase the surface area available for heat transfer and thus increase the heat transfer rate.

$$T \Delta T \cdot A \cdot U = Q$$

Dimensions:

$$Q = \text{Power} \quad \text{Heat transfer coefficient} \quad \text{Area} \quad \text{Temperature difference}$$

$$U = \text{Heat transfer coefficient} \quad \text{Area} \quad \text{Temperature difference}$$

$$\Delta T = \text{Temperature difference}$$

$$A = \text{Area}$$

### **2.9.1. Konduksi.**

Konduksi adalah Proses perpindahan panas dimana panas mengalir dari suhu yang tinggi ke suhu yang lebih rendah dalam satu medium, perpindahan panas secara konduksi pada dapur crusible terjadi pada penampang bahan bakar dimana bahan bakar yang tercampur udara menjadi gas panas kemudian disemburkan masuk kedalam dapur dan pemanas yang diterima bidang pemanas akan diteruskan konduksi menuju logam yang akan dilebur.

Sehingga perpindahan panas secara konduksi dapat dirumuskan sebagai berikut :

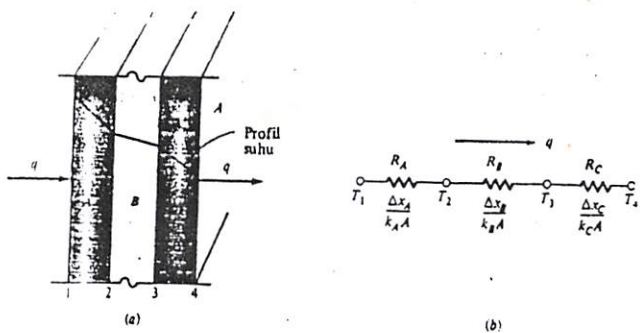
$$Q_k = \frac{AK}{L} ( T_{panas} - T_{dingin} )$$

T dingin = Temperatur yang lebih rendah ( °C )

Rumus diatas digunakan dengan asumsi :

- Perpindahan panas satu dimensi.
- Kondisi tak berubah ( stedy state condition ).
- Sifat – sifat tak berubah.

Untuk dinding tebal berlapis – lapis seperti pada gambar 2.5, maka berlaku.]



Gambar 2.4

### Perpindahan Kalor Satu Dimensi

Suhu ( temperatur gradient ) pada ketiga bahan adalah seperti terlihat pada gambar, aliran kalor dituliskan sebagai berikut :

$$Q = k_A A \frac{T_2 - T_1}{\Delta x_A} = -k_B A \frac{T_3 - T_2}{\Delta x} = k_C A \frac{T_4 - T_3}{\Delta x_C}$$

Atau dapat pula ditulis sebagai berikut :

$$q = \frac{T_1 - T_4}{\Delta x_A / K_A A + \Delta x_B / K_B A + \Delta x_C / K_C A}$$

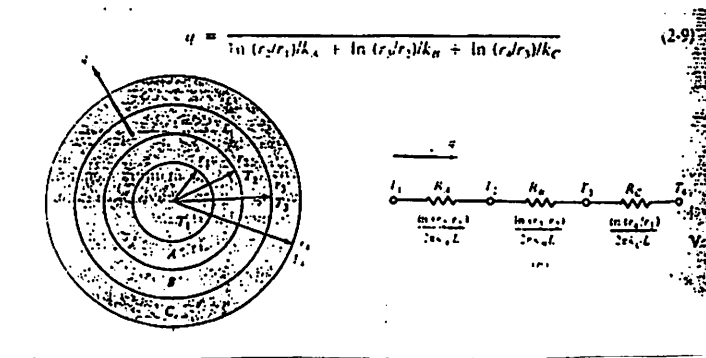
Dimana :

$\Delta x / k_A$  = Tahanan thermal ( w / m°C ).

T = Temperatur ( °C ).

q = Aliran Kalor ( Kj / hr ).

Untuk bentuk silinder seperti pada gambar 2.6, maka didapat :



Gambar 2.5

### Aliran Kalor Dimensi Melalui Penampang Silinder

Aliran kalor ( q ) yang didapat adalah :

$$q = \frac{2\pi \cdot L \cdot (T_1 - T_4)}{\ln(r_2/r_1)/k_A + \ln(r_3/r_2)/k_B + \ln(r_4/r_3)/k_C}$$

Dimana :

r = Jari – jari ( m )

T = Temperatur ( °C )

L = Tinggi tabung ( m )

$\Gamma = \text{Lifted}(m)$

$T = \text{Lifted}(\mathcal{C}_0)$

$t = \text{tr}(m - m')$

Durch:

$$d = \frac{\mu(V \setminus V') \wedge V^3 + \mu(V \setminus V') \wedge V^3 + \mu(V \setminus V') \wedge V^3}{V^3 \wedge (V' - V')}$$

ist die folgende Formel (d) korrekt?

Korrektur für die Formel (d) ist sie korrekt?

Zeigt (d)

Was ist die Formel (d) korrekt?

$d = \text{Lift}(K) \wedge m$

$T = \text{Lift}(\mathcal{C}_0)$

$\forall V \setminus V' = m \setminus m' \text{ Lemma 1}$

Durch:

### **2.9.2. Konveksi.**

Konveksi adalah proses transport energi dengan kerja gabungan dari konduksi panas, penyimpanan energi dan gerakan mencampur, perpindahan panas secara konveksi pada dapur crusible terjadi pada dinding bagian dalam dapur dimana panas yang diterima akan dihambat oleh dinding sehingga hanya sebagian kecil sela panas yang diteruskan menuju permukaan dinding luar, dimana terjadi dua macam perpindahan panas secara konveksi, yaitu :

#### **1. Konveksi Alam**

Pada dapur crusible konveksi alam terjadi pada dinding luar dapur, perhitungan koefisien konveksi dari dinding luar ini dapat dicari dengan bantuan rumus empiris sebagai berikut :

$$H_C = \frac{0,53 \cdot C \cdot \Delta 0,27}{(T_{av}) \cdot 0,18}$$

Dimana :

$H_C$  = Koefisien perpindahan panas konveksi ( $\text{Kcal}/\text{m}^2 \text{ } ^\circ\text{C}$ )

$\Delta$  = Beda temperatur antara dinding dapur dengan udara ( ${}^\circ\text{R}$ )

$T_{av}$  = Temperatur rata-rata dinding ( ${}^\circ\text{R}$ )

C = Faktor bentuk, dimana :

= 1,39 untuk dinding vertical

= 1,79 untuk dinding horizontal

## 2. Konveksi Paksa.

Pada dapur crusible konveksi paksa pada aliran gas asap bila pipa dialiri udara atau gas asap maka konveksi paksa koefisien paksa yang terjadi dapat dihitung dengan rumus yang dibuat oleh a. Hermansen.

$$H_c = \beta_o \cdot x \cdot P \cdot x \cdot \lambda$$

Dimana :

$\beta_o$  = Koefisien perpindahan panas konveksi paksa ( cal/hr °C ).

Untuk  $f = ^\circ C$  dan  $L = m$

$P$  = Faktor temperatur.

$\lambda$  = Faktor panjang pipa.

Harga  $\beta_o \cdot P \cdot \lambda$  telah ditabelkan oleh A.Hermansen, dan dapat dilihat pada tabel 2.2 untuk mendapatkan harga-harga tersebut harus dicari terlebih dahulu harga-harga  $V_o$  ( m / dik ) dan harga  $d$  ( m ).

3. Knowledge Paper

1. Der durch Ganzkörperstrahlung erzeugte Wärme ist proportional der Temperatur des Körpers und der Strahlungsfläche.

$$H = \sigma A T^4$$

Dimension:

$$W/m^2 = \text{Strahlungsdichte} \cdot \text{Wärmeleistung} \cdot \text{Fläche}$$

$$W/m^2 = J \cdot C \cdot F = m$$

$J = \text{Eigentemperatur}$

$C = \text{Eigentemperaturkoeffizient}$

2. Die Wärmeleitungsgleichung ist eine partielle Differentialgleichung der zweiten Ordnung.

Spez. Wärme  $C_p$  ist die Wärmeleistung pro Einheitstemperatur, die bei konstanter Temperatur auf die Masse  $m$  übertragen wird.

$$C_p = \frac{W}{m \cdot K}$$



### 2.9.3. Radiasi.

Pada crusible radiasi dihasilkan oleh gas asap yang banyak mengandung CO<sub>2</sub> dan H<sub>2</sub>O oleh Shack koefisien perpindahan panas radiasi dirumuskan sebagai berikut :

$$H_r = \frac{t - (a - 273)}{b}$$

$$a = 610 \left( 1 - \frac{1 - e^{-5x}}{10_x} \right)$$

$$\frac{I}{b} = 0,07 \left( 1 - \frac{1 - e^{-1,826s}}{10_s} \right)$$

Dimana :

t = Temperatur rata-rata dinding dan gas asap (°C)

a ; b = Konstanta yang merupakan fungsi s

s = Tebal gas asap (m)

Rumus diatas didapat dari hasil analisa 14,4% CO<sub>2</sub> dan 7,4% H<sub>2</sub>O.

Untuk gas asap dengan kandungan P % CO<sub>2</sub> dan q % H<sub>2</sub>O, maka tebal gas asap dikalikan dengan faktor koreksi menurut rumus :

$$S' = S \frac{P + q}{21,8}$$

Sedangkan panas radiasi yang dilepaskan oleh dinding dapur dapat dicari dengan rumus sebagai berikut :

$$H_r = \frac{0,73_e (Tw/100)^4 - (Ta/100)^4}{\Delta}$$



Dimana :

$hr$  = Koefisien perpindahan panas radiasi (Btu/hr.sqft<sup>0</sup>R)

$\varepsilon$  = Emisifitas dinding (<sup>0</sup>R)

$T_w$  = Temperatur dinding (<sup>0</sup>R)

$T_a$  = Temperatur udara (<sup>0</sup>R)

$\Delta$  = Beda temperatur dinding dan udara (<sup>0</sup>R)

Untuk menentukan temperatur gas asap yang keluar cerobaong, maka digunakan langkah-langkah sebagai berikut :

1. Menentukan temperatur efektif pembakaran.

$$T_f = \sqrt[4]{T_1^2 - T_2^2}$$

Dimana :

$T_f$  = Temperatur efektif pembakaran (<sup>0</sup>K)

$T_1$  = Volume teoritis rata-rata pembakaran (<sup>0</sup>K)

$T_2$  = Tempertur hasil pembakaran keluar dari dapur (<sup>0</sup>K)

Untuk menentukan panjang rata-rata lintasan dan nyala apinya :

$$I = 3,60 \frac{V}{F}$$

Dimana :

$I$  = Panjang rata-rata lintasan nyala api (m)

$V$  = Volume dari lintasan yang dimaksud (m<sup>3</sup>)

$F$  = Luas permukaan dari bidang yang dimaksud (m<sup>2</sup>)



Menetukan harga ( $P_1$ ) dengan cara melihat grafik 2.1 dan 2.2 ,

Setelah kita mengetahui harga  $P_1$  maka kita dapat menentukan nilai emisivitasnya.

Menentukan besarnya fraksi penyerapan :

$$\lambda = \frac{Fr}{Ff}$$

Dimana :

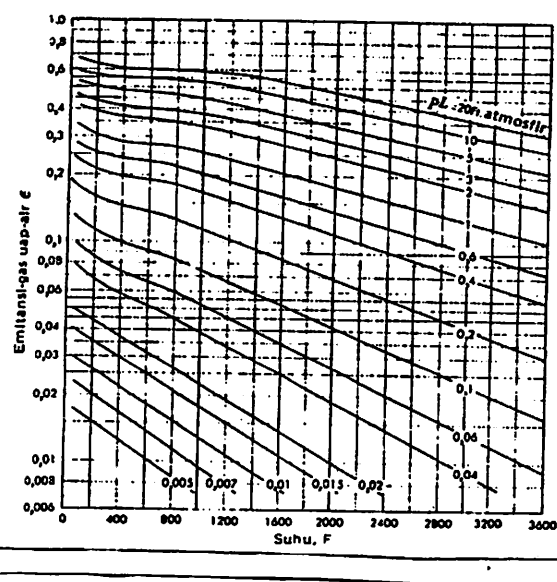
$\lambda$  = Harga fraksi penyerapan (btu/lbm)

$Fr$  = Luas radial permukaan pemanasan ( $m^2$ )

$Ff$  = Jumlah luas permukaan pelindung ( $m^2$ )

Grafik 2.1.

$cH_2O = f(t_2P_1) = \text{Emisifitas uap air}$



$\text{CH}_3\text{O} = (\text{H}_3\text{C})_2\text{O}$  = the open shell structure

CH<sub>3</sub>O<sup>+</sup>

Li = a hydrogen bond acceptor (H<sub>3</sub>C)

Br = a hydrogen bond donor (H<sub>3</sub>Cl)

N = a hydrogen bond acceptor (NH<sub>3</sub>)

Brassard:

$$\chi = \frac{\sum \lambda_i}{\lambda_{\text{max}}}$$

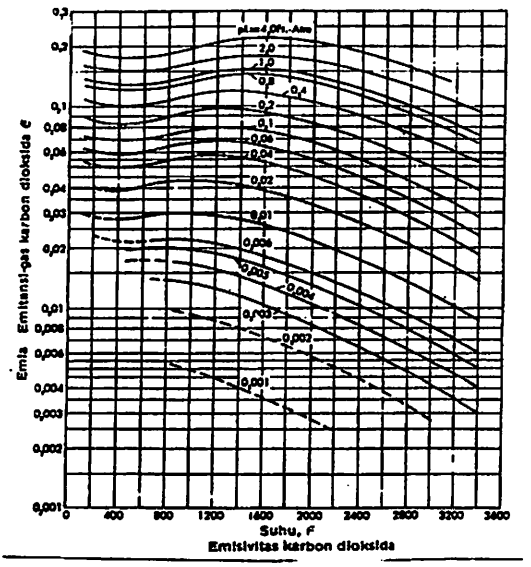
measured by extrapolated equilibrium:

activity coefficient = measured activity / ideal activity (Nernst equation)

$\gamma = \text{exp} \left( \frac{RT}{4F^2} \ln \left( \frac{P_{\text{actual}}}{P_{\text{ideal}}} \right) \right)$

Grafik 2.2.

$$cCO_2 = f(t_2 T_1) = \text{Emisifitas karbondioksida}$$



2. Menentukan besarnya radiasi dari dapur.

$$\tau f = 4,9 \times 10^{-8} \times \sum g \times \frac{1 - 1 \in q}{(1 - 2 \in q) + \in q}$$

Dimana :

$\tau$  = Nilai kalor radiasi dapur

$\in q$  = Nilai emisifitas dari kalor tertentu

$\lambda$  = Besaran atau harga kalor penyerapan

3. Menentukan temperatur sebenarnya dalam keadaan nyata.

$$T_1 = T_1 \frac{Cp_1}{Cp_2}$$

**Dimana :**

$T_1'$  = Temperatur sebenarnya terjadai dari proses pembakaran ( $^{\circ}\text{C}$ )

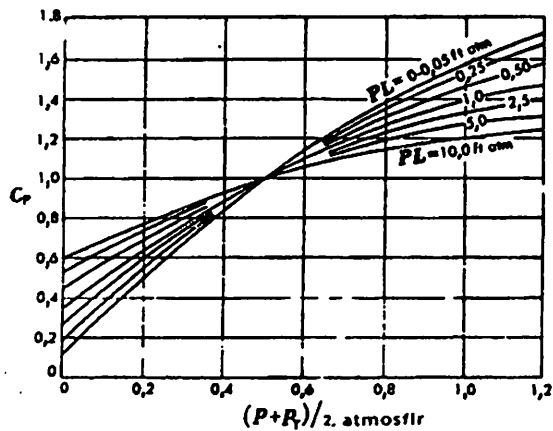
$T_1$  = Temperatur teoritis rata-rata pembakaran ( $^{\circ}\text{C}$ )

$C_{p1}$  = Faktor koreksi emisifitas CO<sub>2</sub>

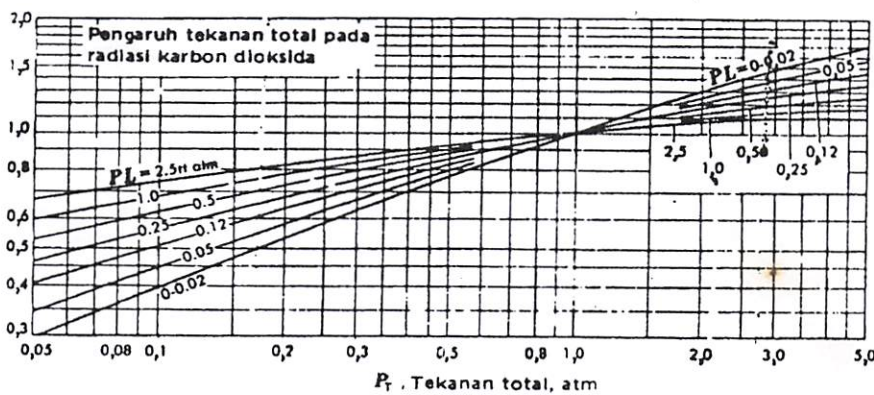
$C_{p2}$  = Faktor koreksi emisifitas H<sub>2</sub>O

Dimana intuk kedua faktor koreksi diatas dapat dilihat pada graifik 2.3 dan 2.4, menentukan temperatur gas asap yang keluar dari cerobaong.

**Grafik 2.3.**  
**Faktor Cp untuk mengoreksi emisifitas uap air**



Grafik 2.4.  
Faktor Cp untuk mengoreksi CO<sub>2</sub>



$$T_2 = \frac{2xT_1'}{1 + \sqrt{1 + \frac{4T_1'}{x}}}$$

Dimana :

$T_2$  = Temperatur gas asap yang keluar dari cerobong (°C)

$T_1'$  = Temperatur sebenarnya terjadi dari proses pembakaran (°C)

X = Total fraksi radiasi panas keluar dapur.

## BAB III

### PERHITUNGAN PERPINDAHAN PANAS DAN KONSTRUKSI DAPUR CRUSIBLE

#### 3.1. Umum.

Dalam perencanaan konstruksi ini, material atau bahan-bahan yang digunakan antara lain :

a. Crusible / Kowi.

Terbuat dari baja yang mempunyai tebal = 5 mm, tinggi = 200 mm, diameter = 200 mm, dipilih bahan tersebut karena mempunyai titik lebur yang tinggi dibandingkan dengan logam non ferrous.

b. Badan / Tabung Crusible.

Terbuat dari plat baja ukuran tebal = 2,5 mm, tinggi = 30 mm, diameter = 40 mm.

c. Penyangga Bahan Bakar.

Dari baja siku St.37 dengan ukuran lebar = 280 mm, tebal = 3 mm.

d. Tabung Bahan Bakar.

Dari drum berdiameter = 280 mm, tinggi = 525 mm, tebal = 1 mm.

e. Burner.

Menggunakan burner yang biasa dipakai untuk memanaskan aspal dengan ukuran panjang = 270 mm, tinggi = 165 mm, sedangkan saluran bahan bakar dipakai dari tembaga dengan diameter = 3,7 m, agar dapat menghasilkan nyala api yang maksimal untuk logam non ferrous.

WILSON'S SPARROW

PERINNEAGA SAWAKA KALAKA MELAKA HOMIKA

WILSON'S SPARROW

SE. CHINNAM

Dark brown above; crown, back, wings, tail and rump blackish brown, with a few white spots on the wing-coverts.

Underparts pale;

se. CHINNAM KOMI

Upper parts dark greyish brown, with a few white spots on the wing-coverts.

Below, pale grey, with a few white spots on the wing-coverts.

Length 16 cm. Bill 1.5 cm. Tarsus 1.2 cm. Claws 0.5 cm.

Perched bird, facing right.

Length 16 cm. Bill 1.5 cm. Tarsus 1.2 cm. Claws 0.5 cm.

Perched bird, facing right.

Dark greyish brown above; crown, back, wings, tail and rump blackish brown, with a few white spots on the wing-coverts.

Perched bird, facing right.

Dark greyish brown above; crown, back, wings, tail and rump blackish brown, with a few white spots on the wing-coverts.

Perched bird,

Wings and tail blackish brown, with a few white spots on the wing-coverts.

Length 16 cm. Bill 1.5 cm. Tarsus 1.2 cm. Claws 0.5 cm.

Length 16 cm. Bill 1.5 cm. Tarsus 1.2 cm. Claws 0.5 cm.

Perched bird, facing right.

f. Tutup Tabung Crusible.

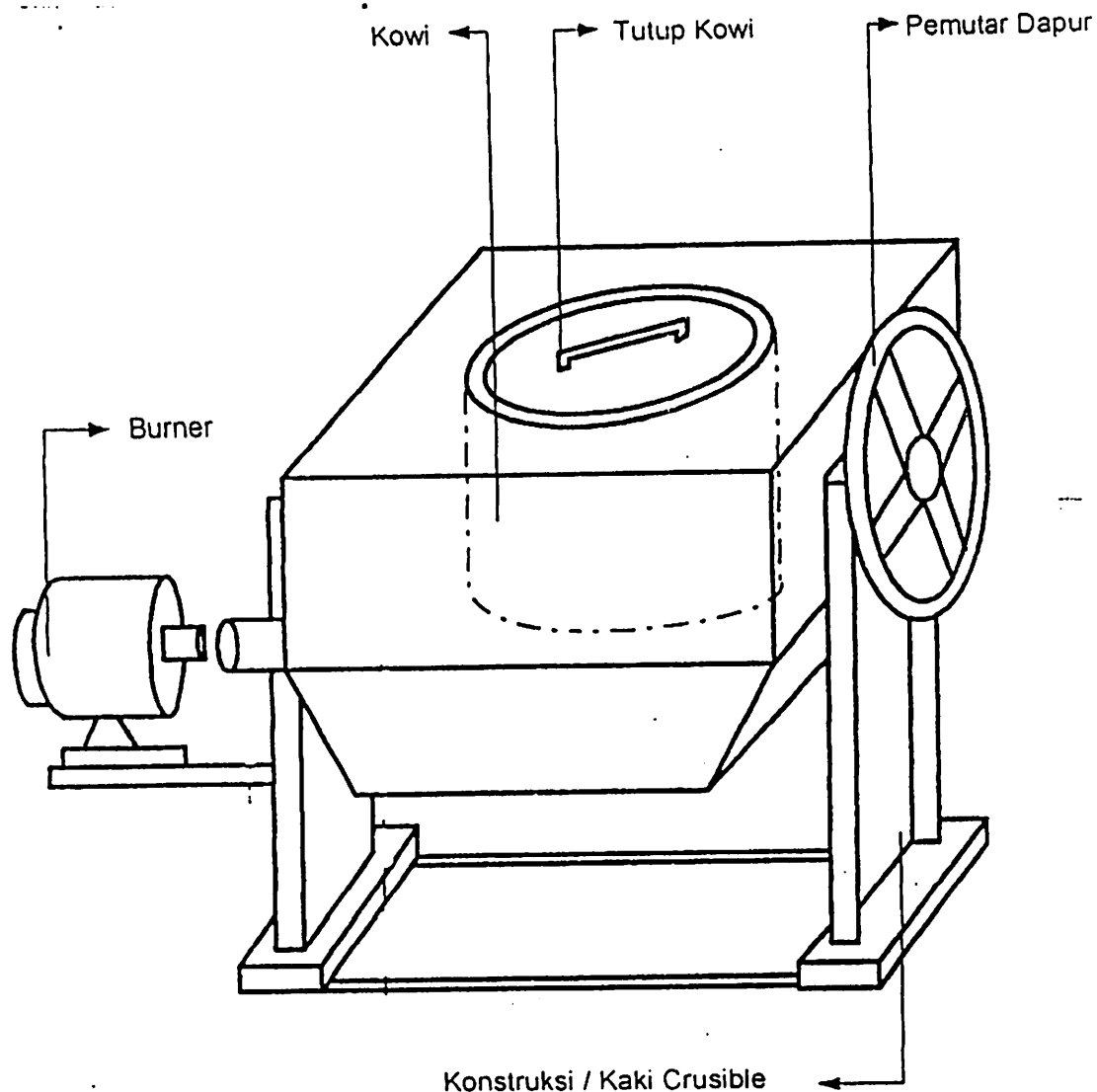
Terbuat dari plat baja yang mempunyai tinggi = 100 mm dan tebal = 2,5 mm.

g. Batu Tahan Api.

Dengan ukuran panjang = 100 mm, lebar = 70 mm, tebal = 40 mm, digunakan untuk menehan panas pada tabung dapur.

### 3.2. Konsep Perencanaan.

#### 3.2.1. Konstruksi Dapur Crusible.



Gambar 3.1

Konstruksi Dapur Crusible

slide 17) under 1st edition

17. Model

### 3.3.1. Konkretas iðafar. Címsíða:

#### 3.3. Konkreti þróunarsíður

Samkvæmt Þjóðsögu eru meðal þeirra fyrstu 9 afmáli:

þessum 9 afmálum eru 100 milljónar fyrir einn = 100 milljónar fyrir = 10 milljarðir = 40 milljarðir ófyrirskotum

Þeim 100 milljónum fyrir eru:

1. Íslensk fyrirvara fyrir 2.000 milljónir fyrir = 2.000 milljarðir = 20 milljarðir

2. Íslensk fyrirvara Címsíða:

### **3.2.2. Langkah Kerja Perencanaan.**

Pada perencanaan ini, langkah kerja pertama dengan membuat tabung / yempat dapur crusible, dengan ukuran tinggi 300 mm, diameter 400 mm. Kemudian kowi / crusible dengan ukuran diameter 200 mm, tinggi 200 mm, di tempatkan pada tengah tabung yang sebelumnya dilapisi oleh batu tahan api, kemudian menentukan ketingguan tabung . Bagian terakhir menempatkan burner dibawah setelah itu ditutup yang mempunyai lubang ventilasi berdiameter 50 mm, untuk mengeluarkan gas buang akibat panas dapur.

### **3.3. Perencanaan Perhitungan.**

#### **3.3.1. Perencanaan Crusible.**

Karena ditujukan untuk melebur logam non ferrous, maka untuk kowi dipilih dari bahan yang titik didihnya lebih tinggi, sehingga mempu menahan beban sampai temperatur titik didih / pelebur logam non ferrous.

Untuk material crusible dipilih dari baja St 37 dengan ukuran :

Diameter luar	= 200 mm
Diameter dalam	= 190 mm
Tinggi	= 200 mm
Tebal	= 5 mm

5.3. Pendapat Masa Tercalonan

Pada berdasarkan antara pengalaman berjaya dalam mengelakkan peristiwa yang tidak diingini. Maka ia akan memberikan maklumat tentang sejauh mana anda boleh berjaya mengelakkan peristiwa yang tidak diingini. Selain itu ia juga akan memberikan maklumat tentang sejauh mana anda boleh berjaya mengelakkan peristiwa yang tidak diingini. Ia juga akan memberikan maklumat tentang sejauh mana anda boleh berjaya mengelakkan peristiwa yang tidak diingini. Selain itu ia juga akan memberikan maklumat tentang sejauh mana anda boleh berjaya mengelakkan peristiwa yang tidak diingini.

5.3. Pendapat Masa Tercalonan

Ketika dilakukan untuk mendekati tujuan dan mencapai hasil kerja dilakukan dengan cara yang dikenali sebagai teknik. Ketika dilakukan untuk mendekati tujuan dan mencapai hasil kerja dilakukan dengan cara yang dikenali sebagai teknik. Ketika dilakukan untuk mendekati tujuan dan mencapai hasil kerja dilakukan dengan cara yang dikenali sebagai teknik. Ketika dilakukan untuk mendekati tujuan dan mencapai hasil kerja dilakukan dengan cara yang dikenali sebagai teknik.

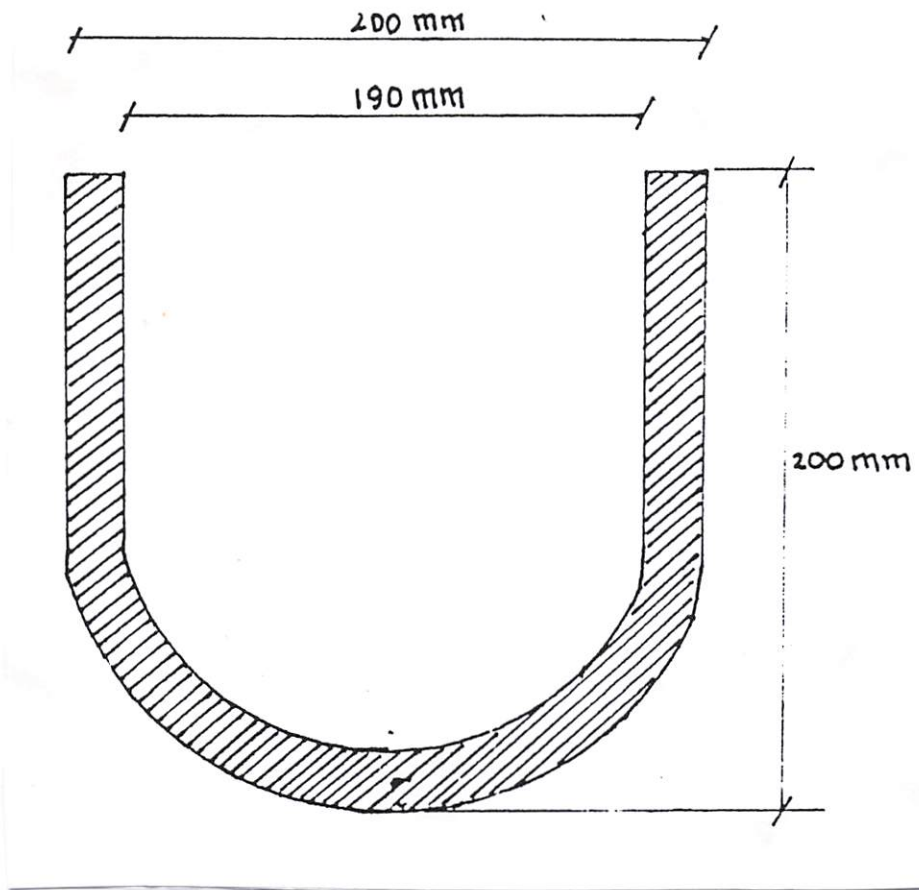
Jadi maklumat ini adalah hasil dilajuh oleh ahli teknologi dan teknologi.

mm 300 = Diameter jalinan

mm 180 = Diameter jalinan

mm 90 = jalinan

mm 6 = kedudukan



Gambar 3.2

Crusible / Kowi

Volume crusible :

$$\begin{aligned}
 V &= \left[ \frac{\pi}{4} (d_1^2) \frac{h_1}{10^6} \right] + \frac{1}{2} \left[ \frac{\pi}{6} \left( \frac{d^3}{10^6} \right) \right] \\
 &= \left[ \frac{3,14}{4} (190^2) 190 \right] + \frac{1}{2} \left[ \frac{3,14}{6} \left( \frac{190^3}{10^6} \right) \right] \\
 &= 5,4 + 1,8 \\
 &= 7,2 \text{ Dm}^3 \\
 &= 7,2 \times 10 \text{ mm}^3
 \end{aligned}$$

Berat crusible :

$$\begin{aligned}M &= \text{Volume} \times \text{massa jenis baja} \\&= 7,2 \cdot 10^3 \times 7,8 \cdot 10^6 \\&= 56,16 \text{ kg}\end{aligned}$$

Gaya yang terjadi pada crusible

$$\begin{aligned}F &= m \cdot g \\&= 56,16 \times 10 \\&= 561,6 \text{ N}\end{aligned}$$

### 3.3.2. Perencanaan Tabung Bahan Bakar.

Dalam perencanaan ini tabung bahan bakar memakai drum dengan ukuran diameter 280 mm, tinggi 525 mm.

Sehingga :

$$\begin{aligned}V &= \pi / 4 D^2 h / 10^6 \\&= 3,14/4 280^2 525/10^6 \\&= 32,3 \text{ liter}\end{aligned}$$

Berat tabung beserta isinya ( m )

$$\begin{aligned}&= \text{Volume} \times \text{Massa jenis minyak} \\&= 32,3 \times 0,8 \\&= 25,84 \text{ kg}\end{aligned}$$

### **3.4. Perhitungan Pengaruh Perubahan Temperatur Pada Konstruksi.**

Untuk menghitung pengaruh perubahan temperatur dapur yang direncanakan, perlu adanya data-data yang mendukung sebagai berikut :

- a. Temperatur udara luar ( T<sub>2</sub> ) = 28°C ( diambil dari kondisi idealnya ).
- b. Temperatur dalam ( T<sub>1</sub> ) = 975°C ( diambil dari temperatur rata-rata yang digunakan untuk melebur logam non ferrous ).
- c. Koefisien muai panjang logam, yang dalam hal ini baja = 11 x 10.

Sehingga :

Beda temperatur ( ΔT )

$$\begin{aligned}\Delta T &= T_1 - T_2 \\ &= 975 - 28 \\ &= 947^\circ C\end{aligned}$$

Pertambahan panjang jari-jari Crucible.

$$\begin{aligned}\Delta R &= \frac{2\pi R(1 + \alpha\Delta T)}{2\pi} - R \\ &= \frac{6,28 \times 100(1,0104)}{6,28} - 100 \\ &= 1,04 \text{ mm.}\end{aligned}$$

Sehingga ketika terjadi perubahan temperatur jari-jari crucible mengalami pertambahan panjang sebesar 1,04 mm, sehingga jari-jari crucible pada saat terjadi pemuaian adalah :

$$\begin{aligned}R &= R_0 \times \Delta R \\ &= 100 + 1,04 \\ &= 101,04 \text{ mm.}\end{aligned}$$

Pada bagian tabung.

$$\Delta R = \frac{6,28 \times 190(1,0101)}{6,28} - 190 \\ = 1,98 \text{ mm}$$

Pertambahan panjang jari-jarinya.

$$R = 190 + 1,98$$

$$= 191,98 \text{ mm.}$$

Dari perhitungan diatas  $\Delta T <$  dari titik lebur sehingga konstruksi aman.

Perhitungan pertambahan volume coran akibat perubahan temperatur.

Diketahui koefisien muai volume ( $\alpha$ ) logam coran yang dalam hal ini adalah kuningan  $= 6,0 \times 10^{-5} \text{ }^{\circ}\text{C}$ ,

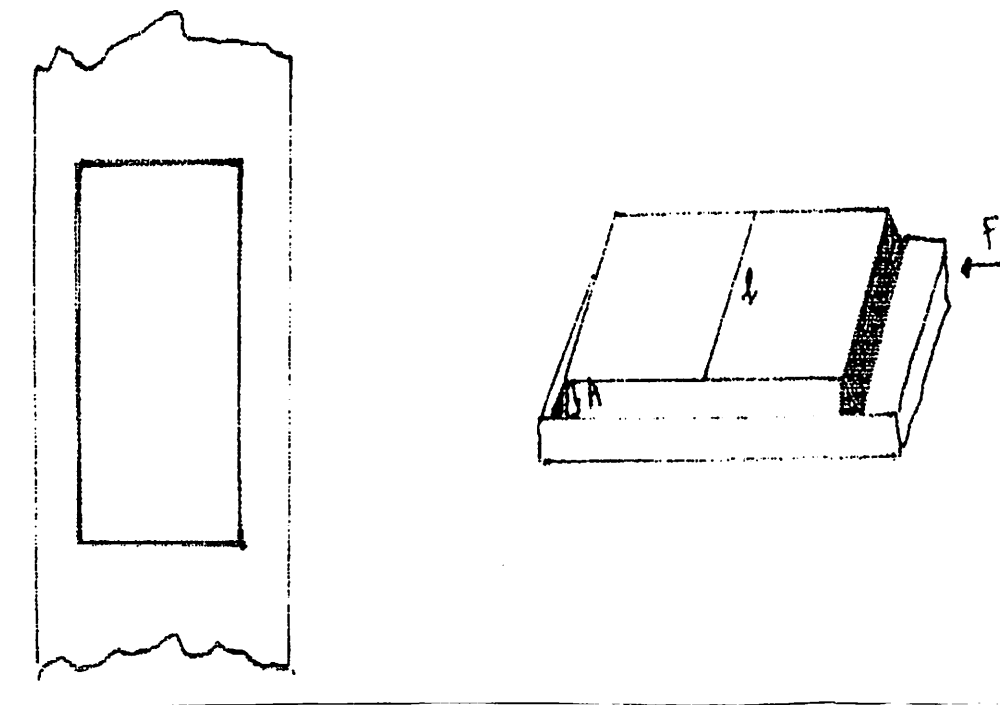
Sehingga :

Pertambahan volume logam coran :

$$\Delta V = \alpha V_0 \Delta T \\ = 6,0 \times 10^{-5} \times 7200 \times 947 \\ = 409,104 \text{ cm}^3$$

### 3.4.1. Perhitungan Kekuatan Las.

Untuk menyangga penampang bahan bakar, digunakan besi batangan dengan tebal 0,3 mm, sedang lebar 38 mm, besi tersebut diletakan dengan menggunakan las yang panjang pengelasan adalah 100 mm, bebannya seberat 32,3 kg, sedang untuk sudut karena kecil, maka kita abaikan sehingga gaya geser yang bekerja pada batang.



Gambar 3.3

Las yang direncanakan

$$= \frac{25,84 \times 10}{3 \times 100}$$

$$= 0,086 \text{ kg / N}$$

$$= \frac{25,84 \times 10}{3 \times 38}$$

$$= 2,26 \text{ kg / N}$$

$\sigma$  = Tegangan geser

F = Gaya geser yang terjadi

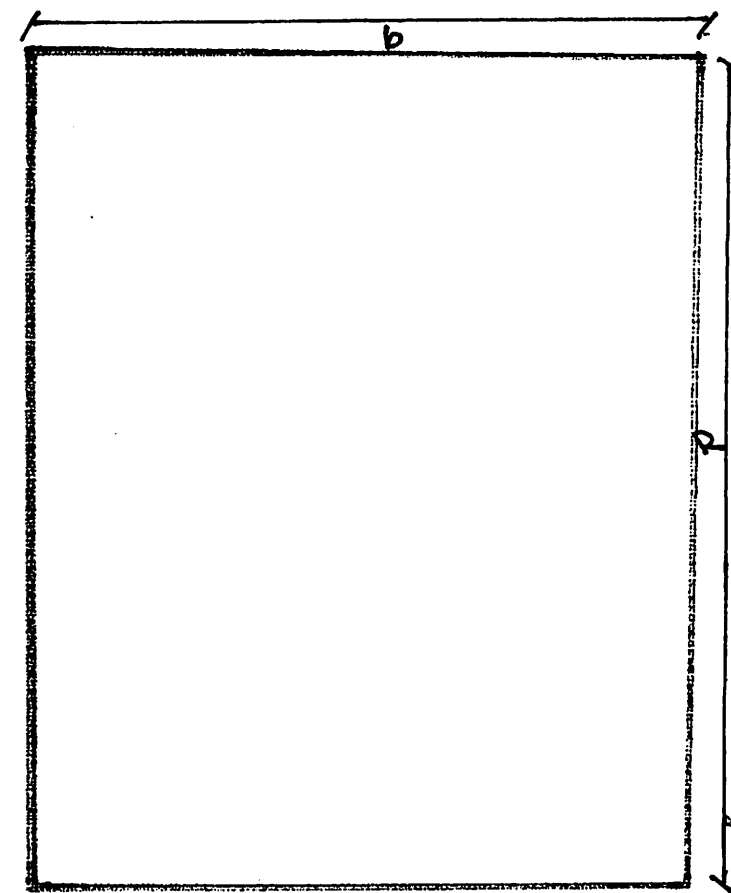
A = h.l

Tegangan normal total yang terjadi pada pengelasan.

$$\sigma_{\text{total}} = \sigma_{1,3} + \sigma_{2,4}$$

$$= 2,35 \text{ kg / N}$$

Luas leher pengelasan ( A ).



Gambar 3.4

Daerah Pengelasan

$$\begin{aligned}A &= 1,414h(b + d) \\&= 1,414 \times 3(38 \times 100) \\&= 585,3 \text{ mm}^3\end{aligned}$$

Tegangan geser yang terjadi.

$$\sigma G = \frac{F}{A}$$

$$= \frac{258,4}{585,3}$$

$$= 0,44 \text{ N}$$

Faktor Keamanan.

$$n = \frac{\sigma}{\sigma G}$$

$$= \frac{2,35}{0,44}$$

$$= 5,3$$

Dari perhitungan diatas didapat nilai faktor keamanan > 1 hingga konsrtuksi bisa aman.

### **3.5. Perhitungan Perpindahan Panas.**

Untuk mencari perpindahan panas didalam dapur dipakai metode coba-coba ( trial eror ). Sebagai perbandingan adalah waktu peleburan untuk 300 Kg bronze dengan memakai Morgan Central Axis Crucible Furnace adalah sebesar 95 menit = 5700 detik.

Data-data yang diketahui P :

#### **1. Konduktifitas bahan ( $\lambda$ )**

Isolator = 0,20 Kcal / m.hr°C

Fireclay – Brick = 1,1 W / m.hr°C

$$= 1,1 \times 0,57782 \times 1,488$$

$$= 0,94578 ^\circ\text{C}$$

$$\text{Graphite} = 140 \text{ Kcal / m}^{\circ}\text{C}$$

Karena Crusible terbuat dari clay – Graphite, maka konduktifitas bahan diambil sebesar 50% -nya sehingga :

$$\lambda = 50\% \times 140 = 70 \text{ Kcal / m.hr}^{\circ}\text{C}$$

$$\text{Pelat baja} = 0,12 \text{ Cal/cm sec}^{\circ}\text{C} = 43,2 \text{ Kcal / m.hr}^{\circ}\text{C}$$

2. Emisifitas baja = 0,79 ( oxidised steel 390 – 1100°F )

3. Luas

$$\text{Dinding dalam tabung} = 3,14 \times 0,515 \times 0,540 = 0,873234 \text{ m}^2$$

$$\begin{aligned} \text{Dinding dalam crusible} &= (3,14 \times 0,295 \times 0,2375) + \left( \frac{3,14}{4} \times 0,925 \right) \\ &= 0,28831 \text{ m}^2 \end{aligned}$$

$$\text{Bagian atas} = \frac{3,14}{4} \times 0,515^2 = 0,2882 \text{ m}^2$$

$$\text{Luas total} = 1,369744 \text{ m}$$

4. : Temperatur

Dengan berdasarkan data-data yang ada maka kita telah mengetahui harga – harga daritemperatur yang spesifik, diantaranya yaitu :

- Temperatur udara luar (  $T_o$  ) =  $28^{\circ}\text{C}$  ( diambil dari konduksi idelnya ).
- Temperatur dinding dalam crusible (  $T_1$  ) =  $975^{\circ}\text{C}$  ( diambil dari temperatur rata- rata yang digunakan untuk meleburkan bijih-bijih alumunium tersebut ).

Pertama-tama kita tentukan terlebih dahulu temperatur maksimum yang dapat dihasilkan dari pembakaran bahan bakarnya dengan cara sebagai berikut  
Telah kita ketahui sebelumnya, bahwa kalor yang dapat dihasilkan dari proses pembakaran antara bahan bakar dengan udara 8140 kkal untuk pembakaran 1Kg unsur C, sehingga dengan demikian maka temperatur yang dihasilkan sebesar.

Proses pembakaran :



$$\begin{aligned} Q &= m \times C_v \times \Delta T \\ &= 0,874 \times 6,80 \times \Delta T \rightarrow 8140 = 5,943 \times \Delta T \\ &= 1369,678 ^\circ\text{C} \end{aligned}$$

Jadi besarnya gas asap = 1370  $^\circ\text{C}$

### 3.5.1. Koefisien Konveksi Dan Radiasi Dinding Luar Dapur.

Untuk mencari besarnya koefisien perpindahan panas konveksi dan radiasi dapat dihitung dengan rumus :

#### 1. Bagian Tabung

$$h_c = \frac{0,53 \cdot c \cdot \Delta \cdot 0,27}{(Ta_v) \cdot 0,18}$$

$$= \frac{0,53 \cdot 1,39 \cdot 947 \cdot 0,27}{501,5 \cdot 0,18}$$

$$= 2,086 \text{ Kcal / m}^2 \text{ hr}^\circ \text{C}$$

$$hr = \frac{t - (a - 273)}{b}$$

$$= \frac{1172,5 - (78,467 - 273)}{78,467}$$

$$= 17,421 \text{ Kcal/m}^2 \text{ hr}^\circ \text{ C}$$

## 2. Bagian Alas

$$hc = \beta - \beta_0 \cdot P \cdot \lambda$$

$$= 1,05 \cdot 1,048 \cdot 1,033$$

$$= 1,527 \text{ Kcal/m}^2 \text{ hr}^\circ \text{ C}$$

$$hr = \frac{0,173 \cdot \varepsilon \left[ \frac{T_w}{100} \right]^4 - \left[ \frac{T_a}{100} \right]^4}{\Delta}$$

$$= \frac{0,173 \cdot 10,79 \left[ \frac{T_w}{100} \right]^4 - \left[ \frac{T_a}{100} \right]^4}{947}$$

$$= 17,813 \text{ Kcal/m}^2 \text{ hr}^\circ \text{ C}$$

	Tw	C	He	hr	h = he + hr
Bagian Tabung	254,308	1,39	2,086	17,421	19,507
Bagian alas	228,346	1,79	1,527	17,813	19,34

Satuan :

$$T_w = {}^\circ C$$

$$H_{he} \text{ dan } hr = \text{Kcal / m}^2 \text{ hr} {}^\circ C$$

### 3.5.2. Koefisien Konduksi dari Dinding.

Untuk mencari koefisien dari dinding digunakan rumus :

1. Untuk  $\Delta T = T_{s1} - T_{s4}$

$$\begin{aligned} \frac{1}{u} &= \frac{r_1}{\lambda_A} \ln \frac{r_1}{r_2} = \frac{r_3}{r_2} \ln \frac{r_1}{\lambda_C} \\ &= \frac{0,2575}{0,846} \ln \frac{0,29}{0,2575} + \frac{0,2575}{0,20} \ln \frac{0,2575}{43,2} \\ &= 0,056 \ln^2 \text{ hr} {}^\circ C / \text{ Kcal} \end{aligned}$$

Dinding bawah :

$$\begin{aligned} \frac{1}{u} &= \frac{r_1}{\lambda_C} + \frac{r_2}{\lambda_B} + \frac{r_3}{\lambda_A} \\ &= \frac{0,003}{43,2} + \frac{0,05}{0,200} + \frac{0,05}{0,946} \\ &= 0,324 \ln^2 \text{ hr} {}^\circ C / \text{ kcal} \end{aligned}$$

2. Untuk  $\Delta T = T_{s1} - T_{s4}$  :

Dinding tabung :

$$\frac{1}{u} = 0,056 + 0,056 + \frac{r_1}{r_3} \times \frac{1}{h_1}$$

$$Q^0 = \omega T$$

$$\text{Wirkungsgrad} = K_{\text{Eff}} \cdot \eta_{\text{L}} \cdot \eta_{\text{E}}$$

E.5.1. Konfektionstechnische Herstellung

Wirkungsgrad von Spulen mit unterschiedlichen Windungen

$$\Delta T = \varphi T = T \Delta \sin \varphi$$

$$\frac{\Delta V}{V} + \frac{\varphi V}{V} = \frac{\Delta V}{V} + \frac{V}{V} = \frac{1}{W}$$

$$0.840 + 0.05252 = 0.89252 \approx 0.90$$

$$= 0.020 \mu^2 \text{ W/Kelvin}$$

1

Durchflusswerte:

$$\frac{\Delta V}{V} + \frac{\varphi V}{V} + \frac{\Delta V}{V} = \frac{1}{W}$$

$$0.0 + 0.0 + 0.0 = 0.0$$

$$= 0.0 \mu^2 \text{ W/Kelvin}$$

$$\Delta T = T \Delta \sin \varphi$$

Durchflusswerte:

$$\frac{1}{W} + \frac{\Delta V}{V} + \delta \xi 0,0 + \delta \xi 0,0 = \frac{1}{W}$$

$$= 0,056 + \frac{0,2575}{0,294} + \frac{1}{19,507}$$

$$= 0,101 \text{ m}^2 \text{ hr}^\circ\text{C / kcal}$$

Dinding bawah :

$$\frac{1}{u} = 0,324 + \frac{1}{h_2} = 0,324 + \frac{1}{19,507}$$

$$= 0,375 \text{ m}^2 \text{ hr}^\circ\text{C / kcal.}$$

### **3.5.3. Koefisien Konveksi Paksa dari Gas Asap**

Kecepatan gas asap masuk diperkirakan 3,5 m/detik, sehingga didapat :

$$v_o = \frac{273}{t + 273}$$

$$= \frac{273}{1370 + 273}$$

$$= 0,582 \text{ m/hr}$$

$$h_o = \beta \left( 1 + 1,77 \frac{0,152}{0,242} \right)$$

$$= 1,527 \left( 1 + 1,77 \frac{0,152}{0,242} \right)$$

$$= 2,656 \text{ Kcal . m}^2 \text{ hr}^\circ\text{C}$$

3.5.3. *Average Period*

Average period between different diurnal cycles in minutes :

: Periods during Pmax = 1

$$\frac{(X - \bar{X})E_1}{\bar{X}} = \frac{(X - \bar{X})E_2}{\bar{X}} = 10$$

$$\frac{(X - \bar{X})E_1}{\bar{X}} = \frac{(X - \bar{X})E_2}{\bar{X}} = \frac{32 - 28.0}{28.0} = 101.0$$

$$= 1.5780 (T_{S1} - T_s) \text{ Kcal / hr}$$

: Periods during Pmin = 2

$$\frac{(X - \bar{X})E_1}{\bar{X}} = \frac{(X - \bar{X})E_2}{\bar{X}} = 10$$

$$\frac{(X - \bar{X})E_1}{\bar{X}} = \frac{(X - \bar{X})E_2}{\bar{X}} = \frac{32 - 28.0}{28.0} =$$

$$= 1.244 (T_{S1} - T_s) \text{ Kcal / hr}$$

3.5. *Average Climate*

$$\frac{(X - \bar{X})K_N}{\bar{X}} = 0.0$$

### 3.5.4. Aliran Kalor

Aliran kalor dapat dicari dengan rumus :

1. Pada dinding tabung :

$$\begin{aligned} Q_1 &= \frac{A(T_{s1} - T_0)}{U_1} = \frac{A(T_{s1} - T_1)}{U_2} \\ &= \frac{0,873(T_{s1} - 28)}{0,101} = \frac{A(T_{s1} - T_1)}{0,056} \\ &= 8,64 (T_{s1} - T_0) = 15,589 (T_{s1} - T_1) \text{ Kcal / hr} \end{aligned}$$

2. Pada dinding bawah

$$\begin{aligned} Q_1 &= \frac{A(T_{s1} - T_0)}{U_1} = \frac{A(T_{s1} - T_0)}{U_2} \\ &= \frac{0,208(T_{s1} - T_0)}{0,375} = \frac{A(T_{s1} - T_1)}{0,324} \\ &= 0,544 (T_{s1} - 28) = 0,642 (T_{s1} - T_a) \text{ Kcal / hr} \end{aligned}$$

3. Pada crucible

$$Q_c = \frac{A\lambda(T_{s1} - T_a)}{r_1 \ln \frac{r_2}{r_1}}$$

$$= \frac{0,288 \times 70(T_{s_1} - 975)}{0,1475 \ln \frac{0,50}{0,1475}}$$

$$= 8132,1475 ( T_{s_1} - 975 ) \text{ Kcal / hr.}$$

4. Dari gas asap

$$Q_q = A ( hc + \tau ) ( \Delta T - T_{s_1} )$$

$$= 1,369 ( 2,656 + 63,123 ) ( 1370 + T_{s_1} )$$

$$= 90,051 ( 1370 - T_{s_1} ) ( \text{kcal / hr.} ).$$

## BAB IV

### PENUTUP

#### 4.1. Kesimpulan

Dari perhitungan, pada perencanaan dapur crusible dengan kapasitas 7,2 liter, dapat diambil kesimpulan bahwa dimensi serta kekuatan konstruksi dapur tersebut adalah sebagai berikut :

#### Dimensi Crusible

- |                                 |              |
|---------------------------------|--------------|
| 1. Diameter luar                | = 200 mm     |
| 2. Diameter dalam               | = 190 mm     |
| 3. Tinggi                       | = 175 mm     |
| 4. Tebal                        | = 5 mm       |
| 5. Berat                        | = 56,16 kg   |
| 6. Gaya yang terjadi            | = 561,6 N    |
| 7. Diameter saluran bahan bakar | = $35^\circ$ |

#### Tinggi Tabung Bahan Bakar

Tinggi tabung direncanakan adalah 1000 mm, agar diperoleh gaya gravitasi yang cukup untuk mengalir bahan bakar yang dalam hal ini adalah minyak. Pada perencanaan dan perhitungan konstruksi dapur yang telah dilaksanakan dapat ditarik kesimpulan.

Dengan memilih bahan serta ukuran yang tepat dan sesuai akan dapat memberikan hasil yang baik.

8481A

BRANDON

ET. - Kestrelbun

Dai lempir lempir bantuan pemerintahan dalam tata kelola dunia klasifikasi S.S. Mere  
dapat dimulai seimbang pada dimana pokusian penempatan dalam berbagai  
masyarakat sebagaimana pokusian

Dikemukakan

mm 001 =	1. Diameter jari
mm 001 =	2. Diameter gelang
mm 251 =	3. Jangka
mm 3 =	4. Tepi
gel 01,02 =	5. Batas
N 0,102 =	6. Jarak antara gelang
" =	7. Diameter gelang pokusian

Gelang jari dan gelang

Tujuan aplikasi dikemukakan adalah untuk menghindari gelang yang berulang  
akibat cengkraman tangan muda atau peran anak yang belum terbiasa dengan  
pada bentuknya dan berulang pada posisinya dapat menyebabkan dilepasnya kain  
dapat diambil kompaknya

Catatan dalam dilihat pokusian sebagaimana yang diwajibkan dalam sesuai dengan ketentuan  
peraturan negara

#### **4.2. Saran**

Saran yang saya dapat utarakan disini adalah.

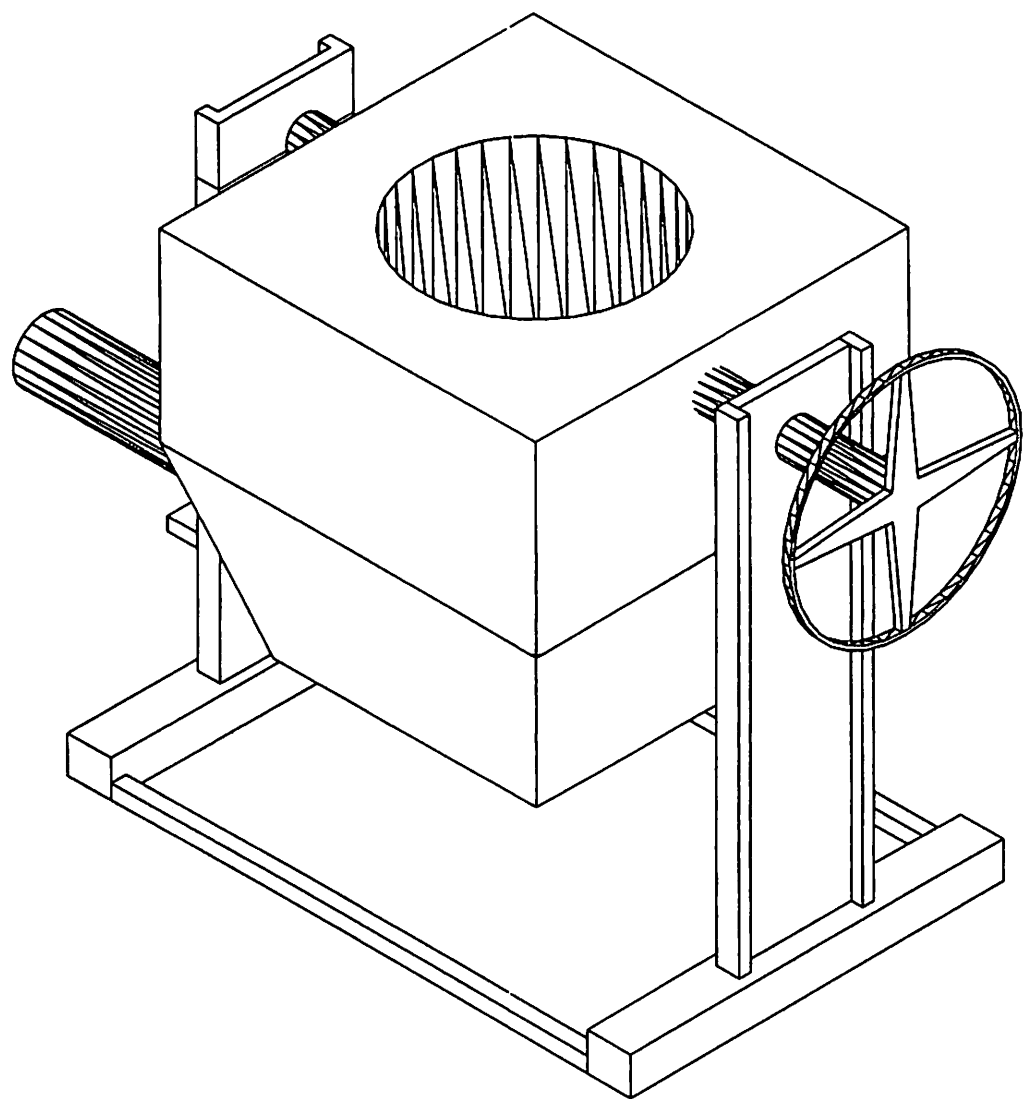
1. Untuk mendapatkan / meningkatkan kapasitas produksi dapat dilakukan dengan menggunakan Crucible yang berukuran lebih besar lagi volumenya.
2. Pada perencanaan ini seharusnya dapur juga dilengkapi dengan sebuah blower yang berfungsi untuk mengeluarkan uap / asap yang dihasilkan ketika dapur dalam keadaan beroperasi.
3. Dalam pemilihan untuk konstruksi hendaknya harus benar-benar diperhatikan kekuatan bahannya, terutama kekuatan terhadap perubahan temperatur.

## **DAFTAR PUSTAKA**

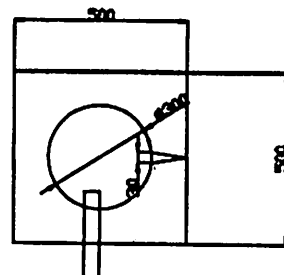
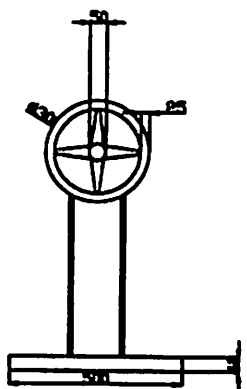
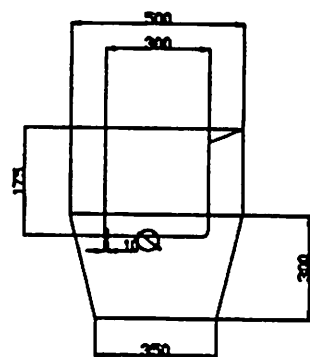
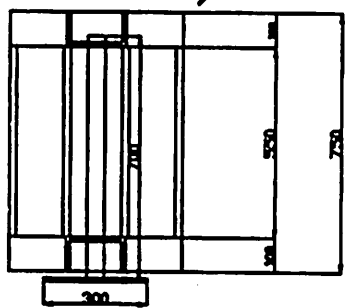
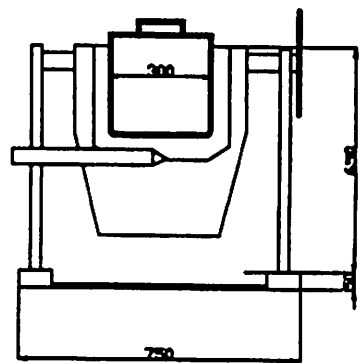
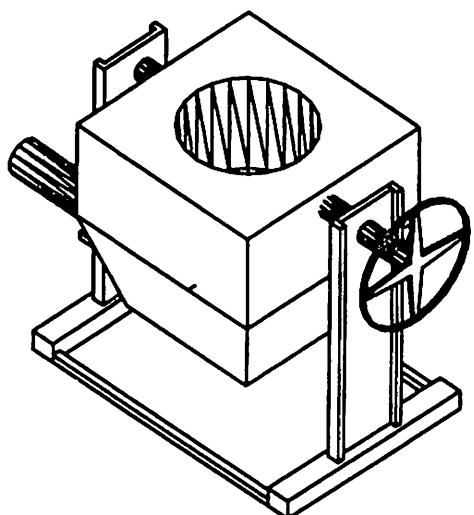
1. Joseph E. Shigley, Larry D. Mitcell, Perencanaan Teknik Mesin, Erlangga 1991.
2. Hallday Resnick, Pantur Silaban, Fisika I, Erlangga 1992.
3. Sear Zemansky, Fisika Untuk Universitas, Bina Cipta, 1991.
4. Ferdinand L. Singer, Andrew Pytec, Ilmu Kekuatan bahan, Erlangga 1995.
5. A. Hermansen, " industrial Furnanace Technique, Ernest Benn Limited London, 1929.
6. J. P. Holman, E. Jasfii, Perpindahan Kalor, Erlangga 1997.
7. Dr. Kenji Chijwa, teknologi Pengecoran Logam, PT. Pradya Paramita, Jakarta 1980.
8. Sularso, Kiyokatsu Suga, Dasar-dasar Perencanaan dan pemilihan Elemen Mesin, PT Pradya Paramita 1994.

**DATIJA RUSIJEKA**

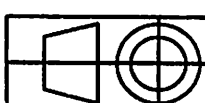
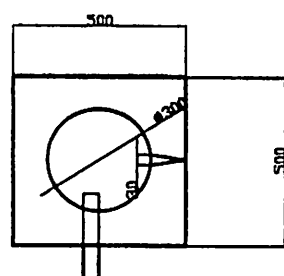
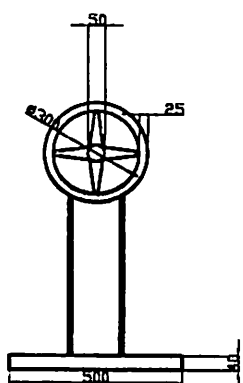
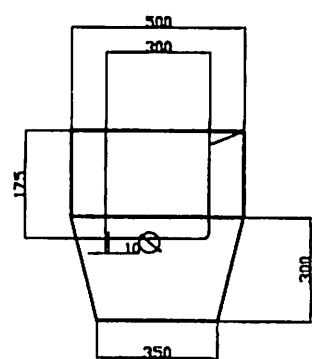
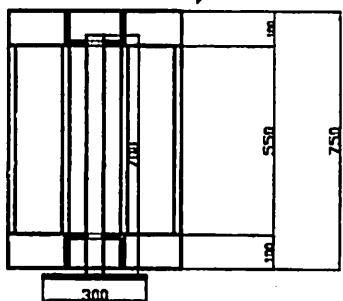
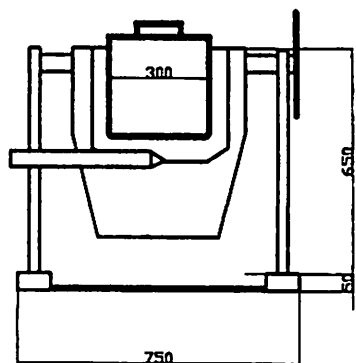
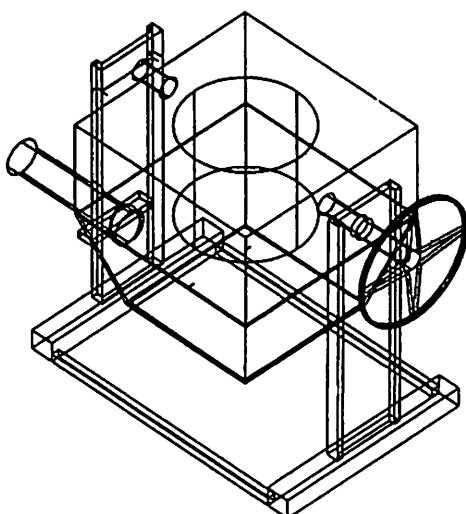
1. Jozef E. Spigol, Taty D. Mihail Beločeski Telefonski Telefon Muzik Filmpredstava 1000.
2. Ljepotica Krasicki Pionir Školski Životni Životni Filmfilma 1000.
3. Svet Nemanječić Filip Umetnik Univerzitet Bihać (Juli) 1000.
4. Bogdanović Štefan Andreja Pešec Istorija Kroatije pionir Filmfilma 1000.
5. A. Hromec „Industrijski prirodnice“ Televizija Hrvatske Dom Ustrojstva 1000.
6. I. B. Hromec, E. Šestaj Televideni Kroat Filmfilma 1000.
7. Duško Čiparič Školski Životni Životni Filmfilma 1000.
8. Šupljot Klapotan Školski Životni Životni Filmfilma 1000.
- Mesec 11. Pionir Školski Životni Životni Filmfilma 1000.



	skala : 1:24 satuan : mm Tgl :	Nama : Hendra W Nim : 00 51 150 Dosen: IR.Suryanto.MT	PERINGATAN
I T N	DAPUR CRUSIBLE		A4



	skala : 1:24	Nama : Hendra w	PERINGATAN
	satuan : mm	Nim : 00 51 150	
	Tgl :	Dosen: IR.Suryanto.MT	
I	T	N	DAPUR CRUSIBLE
			A4



skala : 1:24

satuan : m m

Tgl :

Nama : Hendra W

Nim : 00 51 150

Dosen : IR.Suryanto,MT

PERINGATAN

I T N

DAPUR CRUSIBLE

A4

  
FAKULTAS TEKNOLOGI INDUSTRI  
JURUSAN TEKNIK MESIN D-III  
INSTITUT TEKNOLOGI NASIONAL MALANG  
Jl. Sigura-Gura No. 2  
MALANG

### TANDA TERIMA

Telah menerima alat/ mesin hasil karya mahasiswa dari jurusan teknik mesin D-III fakultas Teknik Industri 1(satu) unit alat /Mesin dengan Judul:

**“DAPUR CRUSBLE”**

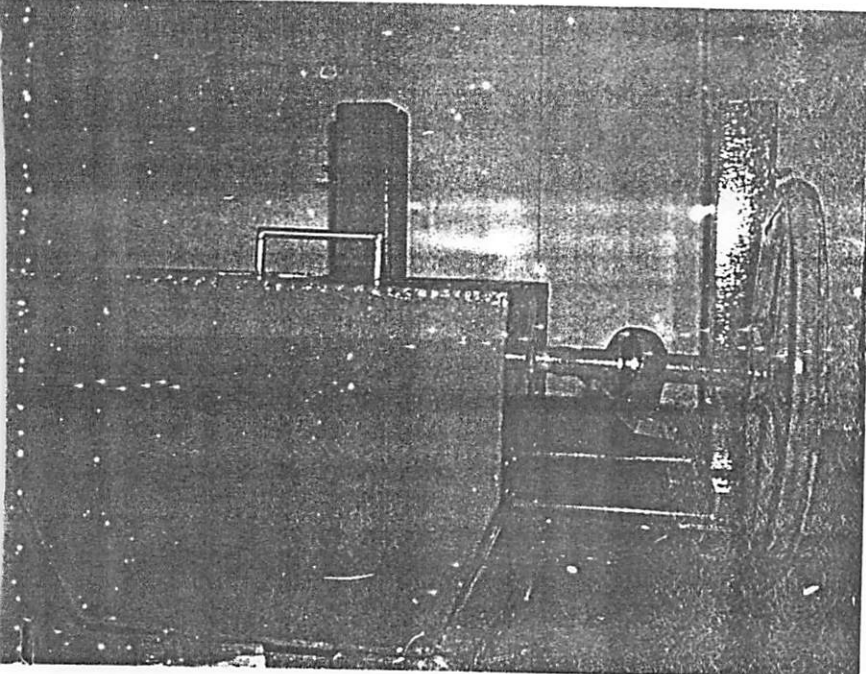
Atas Nama :

1. Hendra Dwidasmara

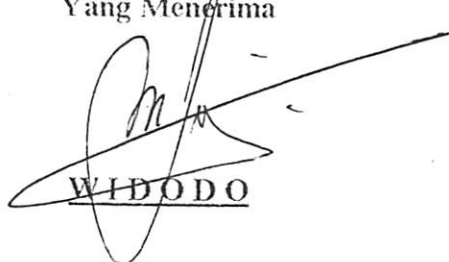
N I M :

1. 0051150

Demikian tanda terima di buat untuk di pergunakan sebagaimana mestinya



Malang, 28 Maret 2006  
Yang Menerima

  
WIDODO



PERKUMPULAN PENGELOLA PENDIDIKAN UMUM DAN TEKNOLOGI NASIONAL MALANG  
INSTITUT TEKNOLOGI NASIONAL MALANG

PT. BNI (PERSERO) MALANG  
BANK NIAGA MALANG

FAKULTAS TEKNOLOGI INDUSTRI  
FAKULTAS TEKNIK SIPIL DAN PERENCANAAN  
PROGRAM PASCASARJANA MAGISTER TEKNIK

Kampus I : Jl. Bendungan Sigura-gura No. 2 Telp. (0341) 551431 (Hunting), Fax. (0341) 553015 Malang 65145  
Kampus II : Jl. Raya Karanglo, Km 2 Telp. (0341) 417636 Fax. (0341) 417634 Malang

Nomor : ITN-018/I.TA/8/05  
Lampiran :  
Perihal : *Bimbingan Tugas Akhir.*

Malang, 12 Januari 2006

Kepada : Yth. Sdr/i. Ir. Suryanto, MT  
Dosen Institut Teknologi Nasional  
Di  
Malang.

Dengan hormat.

Sesuai dengan permohonan dan persetujuan **Tugas Akhir** untuk mahasiswa:

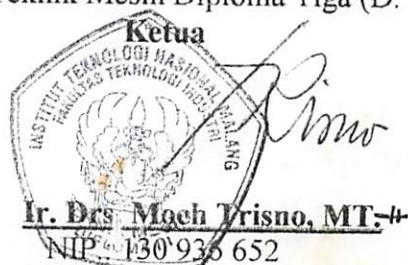
Nama : Hendra Widasmara  
NIM : 0051150  
Semester : XI (Sebelas)  
Jurusan : Teknik Mesin Diploma Tiga (D. III)  
Fakultas : Teknologi Industri

Maka dengan ini pembimbingan Tugas Akhir tersebut kami serahkan sepenuhnya kepada saudara/i selama 1 (Satu) semester ,sebagai dosen pembimbing pertama / kedua terhitung mulai tanggal **10 Desember 2005 s/d 10 Mei 2006**

Adapun tugas tersebut untuk memenuhi persyaratan di dalam menempuh Ujian Tugas Akhir Diploma Tiga.

Demikian agar maklum, dan atas perhatian serta bantuannya kami ucapkan banyak terima kasih.

Jurusan Teknik Mesin Diploma Tiga (D. III)



embusan kepada Yth.:

1. Mahasiswa yang bersangkutan.
2. Arsip.

